

Redakční rada:

Prof. inž. dr. J. PULKRÁBEK — doktor technických věd (předseda), inž. J. ADLOF, inž. V. BAŠUS (výkonný redaktor), inž. dr. J. CIHELKA, inž. J. HABER, doc. inž. L'. HRDINA, inž. A. KŘÍŽ, inž. dr. M. LÁZŇOVSKÝ, inž. dr. Z. LENHART, MUDr. J. MÜLLER, inž. dr. J. NĚMEC, inž. dr. L. OPPL, MUDr. P. PACHNER, inž. dr. V. PRAŽÁK, inž. J. SYNEK, inž. O. ŠULA, inž. V. TŮMA — kandidát technických věd, inž. C. A. VOTAVA

Adresa redakce: Dvorecká 3, Praha 15

O B S A H

Inž. dr. J. Němec,	
Inž. J. Ransdorf:	Současné problémy ochrany proti hluku
Inž. V. Skokan:	Stanovení průběhu spotřeby vody v budovách — se zaměřením na stavby hotelů — I. část
Inž. J. Chyský:	Diagram pro 1 kg směsi vzduchu a vodní páry
Inž. O. Štorch:	Vysokoúčinné odlučovače olejové mlhy z tlakového vzduchu
Inž. dr. L. Oppl:	Teplotní gradienty v horkých provozech.....
Inž. dr. J. Cihelka:	Poznámky k výjimce z normy ČSN 06 0210 pro výpočet teplných ztrát budov
Inž. J. Řehánek:	Poznámka k zátopovým přirážkám
Rozhledy
Normalisace a patenty
Recenze
Literatura
Přílohy 13 a 14	

534 . 83

8 . 20

SOUČASNÉ PROBLÉMY OCHRANY PROTI HLUKU

Inž. dr. JAROSLAV NĚMEC — inž. Jiří RANSDORF

Státní výzkumný ústav tepelné techniky, Praha

Autoři ve svém příspěvku předkládají technické veřejnosti závěry z aktivu o současných problémech ochrany proti hluku a upozorňují na závažnost vlivu hluku na lidské zdraví.

*Lektoroval: prof. inž. dr. J. Pulkrábek
doktor technických věd*

Otzávka ochrany proti hluku vystupuje v současné době stále více do popředí zájmu širokých vrstev pracujících. Mohutný rozvoj výroby, dopravy i výstavby sídlišť v našem státě přináší s sebou i zvyšování hlučnosti v továrních provozech, v kancelářích, na ulicích i v domácnostech. Snižování hluku a účinky nadměrného hluku na lidský organismus jsou dnes předmětem mnoha odborných prací našich techniků a lékařů. Jejich cílem je zajistit, aby zdraví a pracovní i životní prostředí pracujících bylo co nejlepší.

Za současné situace však není vývoj opatření proti vznikající hlučnosti na takové výši, aby byl zastaven vzrůst onemocnění osob pracujících v hlučném prostředí. Ve statistice chorob z povolání v Praze jsou onemocnění z hluku na druhém místě. Závažnost tohoto stavu byla podnětem k tomu, že Čs. vědecká technická společnost pro zdravotní techniku a vzduchotechniku při ČSAV, odborná skupina Ochrana proti hluku a otresům, uspořádala dne 10. 10. 1958 aktiv na thema *Současné problémy ochrany proti hluku*. Na aktivu byly projednány hlavní problémy, jejichž řešení může přispět k zlepšení jednoho ze základních hygienických faktorů, tj. hlukových poměrů na pracovištích, v dopravních prostředcích, na ulicích měst a sídlišť i v obytných stavbách. Pozornost byla věnována těm současným jevům, které nás nutí k provádění ochrany proti hluku. Ukazuje se, že technické způsoby ochrany proti hluku jsou z hlediska zdravotního i hygienického opodstatněné a musí se proto uplatňovat všude, kde je to možné. Rovněž bylo jednáno o tom, jak činnost k ochraně proti hluku organizovat, jakými způsoby ji zajistit a jak dále rozvíjet a zdokonalovat. Výsledek, ke kterému aktivu dospěl, může být shrnut do těchto hlavních doporučení:

1. Je nutno zabezpečit ochranu proti hluku normou vyššího rádu, zákonem nebo vládním nařízením (vedle dílčích prováděcích norem, zejména uvedených v bodech 2, 3 a 4).
2. Je nutno vytvořit komisi, která by řídila práce spojené s vypracováním normy o nejvyšším přípustném hluku na pracovišti a s jejím uvedením v platnost.
3. Je nutno v souvislosti s vyhláškou o provozu na silnicích vydat ustanovení o omezení vnějších hluků vozidel, zejména vozidel typicky hlučných se zvláštním zřetelem k dopravním prostředkům nově uváděným do provozu.

4. Je nutno stanovit a zpřesnit minimální podmínky pro ochranu před hlukem v obytných stavbách, zejména s ohledem na isolaci mezi byty, isolaci strojních zařízení v budovách a ochranu před hlukem průmyslových závodů a provozů. Odborná skupina při VTS-ZTV zajistí ustavení komisí pro tyto jednotlivé případy, spolupráci s jinými složkami a odbornou náplň.

5. Od výrobců různých zařízení je nutno požadovat, aby byl zajištěn tichý provoz těchto zařízení, a aby technické podmínky byly doplnovány údaji o hluku zařízení a sama zařízení byla doplnována takovými dodatky.

6. Projekty zařízení a staveb je nutno doplňovat výpočtem nebo odhadem hladin hluku. Mohou je provádět projektové ústavy a projekční složky podniků; kontrolu hladin z hlediska hygienického mohou vykonávat především Hygienicko-epidemiologické stanice, z hlediska technického sektorové výzkumné ústavy.

7. Odb. skupina Ochrana proti hluku a otřesům uspořádá odborné aktivity věnované dřílejší technickým problémům a připraví program odborného školení pro pracovníky hygienické péče i pracovníky technické. Odborná skupina bude usilovat, aby při větších ústavech a projektových jednotkách byli ustaveni pracovníci, znali též problémů hluku a jeho tlumení a zajistila se tak odborná úroveň prováděných prací i z hlediska ochrany před hlukem.

8. Je třeba zřídit při poradním sboru hlavního hygienika Ministerstva zdravotnického koordinační orgán nebo komisi, který by řídil boj proti hluku a činnost ve směru, který se jeví jako nejnáležitější.

9. Je nutno dále sledovat normy o měření hluku a zajišťovat jejich vydání ve spolupráci s SÚVN.

Tyto body jsou rovněž mimo jiné obsaženy v usnesení, které výbor aktivu vypracoval a rozeslal. Účastníci aktivu si vyžádali, aby uvedená doporučení byla rozpracována a prostřednictvím VTS předána příslušným složkám a orgánům.*

*) Referáty a diskusní příspěvky pronesené na aktivu byly souborně vydány. Publikace je k dostání v sekretariátu VTS-ZTV, Praha 1, Na Příkopě 29.

628 . 1 : 624—728 . 5

7 . 22

**STANOVENÍ PRŮBĚHU SPOTŘEBY VODY
V BUDOVÁCH SE ZAMĚŘENÍM NA STAVBY HOTELŮ — 1. část**

(Stanovení maximální denní spotřeby vody)

Inž. VLADIMÍR SKOKAN

ČVUT-FAPS, Praha

Práce pojednává o způsobu hospodárného návrhu vodovodního potrubí domovních připojek a hlavních domovních větví. Autor zde uvádí vlastní nové poznatky z dlouhodobého pozorování průběhu spotřeby vody v jednotlivých měsících roku a v jednotlivých dnech měsíce. Průběhy spotřeb vody jsou znázorněny v diagramech. Pro zjištění maximální denní spotřeby jsou v článku odvozeny zvyšovací koeficienty podle současnosti odběru vody.

Lektoroval: inž. C. A. Votava

1. ÚVOD

Mezi technická zařízení budovy patří svým nákladem a druhem použitého materiálu na jedno z čelních míst *vodovodní potrubí*. Náklady na vodovodní potrubí sestávají z *nákladů investičních*, tj. pořizovacích nákladů na materiál potrubí, na isolaci, nátěry a upevňovací součásti, a z *nákladů provozních*, tj. z nákladů na údržbu těchto zařízení a ze zvláštních nákladů, jako jsou např. náklady vynaložené na krytí tepelných ztrát při rozvodu teplé vody. Investiční a provozní náklady vznikají úměrně se zvětšováním průměru potrubí, na němž tedy závisí i ekonomie návrhu.

Pro určení průměru potrubí jsou rozhodující tito činitelé:

Tlak v uličním potrubí nebo dopravní výška čerpadel v domovní zesilovací stanici, statická ztráta tlaku, která závisí na výšce objektu, rozloha objektu, materiál potrubí, rychlosť protékající vody a především její maximální protékající množství potrubím za jednotku času. Všichni tito činitelé jsou jednak dány situací, druhem a rozsahem budovy, nebo je můžeme zvolit — vyjma maximálního množství protékající vody. Investičně i provozně nejhospodárnější návrh potrubí vyžaduje proto v prvé řadě podrobnou znalost průběhu spotřeby vody v budovách. Ve většině objektů a zejména pro určité, dále popsané části domovního rozvodu takové údaje dosud chybí.

Mezi uliční vodovodní potrubí a vnitřní domovní rozvody náleží co do množství přiváděné vody a současnosti odběru *domovní připojky a hlavní domovní větve*. Dimensování těchto potrubí nelze provádět stejným způsobem jako u vnitřních domovních rozvodů, protože se od nich podstatně liší ve skutečné současnosti průtoku vody. Tato práce, založená na výsledcích několikaletého pozorování, má ukázat poznatky o současnosti průtoku vody v domovních připojkách, podle něhož je možno určit maximální hodinové množství vody protékající potrubím.

Základní množství, tj. průměrnou denní spotřebu vody, je možno získat rozborem z celkové denní spotřeby připadající na každého uživatele budovy a na každý zařizovací předmět. Tato základní množství (spotřeby) jsou podle druhu budov do jisté míry známa a při stanovení současnosti se z nich vychází.

Pro definování jednotlivých spotřeb vody je užito těchto termínů:

- *Základní průměrná denní spotřeba vody* — tj. průměrné množství vody připadající na jeden den z celkové roční spotřeby.
- *Zvýšená průměrná denní spotřeba vody* — tj. průměrné množství vody připadající na jeden den v měsíci s největší spotřebou vody za rok.
- *Maximální denní spotřeba vody* — tj. největší množství vody spotřebované za jeden den v celém roce.
- *Maximální hodinová spotřeba vody* — tj. největší spotřebované hodinové množství vody v celém roce.

Rozdělení budov do skupin podle odběru vody můžeme v zásadě ponechat podle běžného rozdělení, protože průběh spotřeby vody je přímo závislý na provozu v budově. Podle tohoto rozeznáváme tři skupiny budov:

1. *Obytné budovy* — tj. vlastní nájemné a rodinné domy a budovy se stálými obyvateli s výhradně bytovým provozem (učňovské a studentské domovy, pensiony apod.).
2. *Účelové stavby občanské* — zahrnují celou širokou kategorii všech druhů občanských staveb.
3. *Průmyslové a zemědělské stavby* s jejich zvláštním provozem závislým na výrobním procesu.

První skupina budov (obytné budovy) je nejrozsáhlější a zastupuje spolu s druhou skupinou, méně početnou, cca 55–60 % veškeré nové výstavby. Současnost v průtoku spotřeby vody v hlavních domovních rozvodech a přípojkách nebyla zde však ještě sledována a nemáme proto dosud přesné podklady stanovené na základě pozorování a dlouhodobého měření.

Druhá skupina budov (účelové stavby občanské) je co do odlišnosti provozu velmi rozmanitá a zahrnuje všechny druhy odběrů od velmi rovnoměrných, trvajících téměř celých 24 hodin, až po nárazové odběry omezené na časově velmi krátká rozmezí. V této skupině je nejméně údajů o průběhu spotřeby vody a proto byl z ní vybrán jeden druh budov, *hotelové stavby* s vysokým stupněm vybavenosti, a zde byly zjištovány průtoky spotřeby vody, o kterých je dále podrobněji pojednáno.

Třetí skupina budov (průmyslové a zemědělské stavby) je rovněž velmi odlišná co do druhů provozů a průběhu spotřeb vody. Podklady pro navrhování průměrů potrubí zde však namnoze jsou, protože při propracovávání technologických postupů určují se současně potřebné příkony vody a ostatních médií, takže projektant dostane někdy přímo udány maximální příkony v m^3/h .

Při zjištování průběhu spotřeby vody v hotelových budovách byly sledovány hotely typu A s rozmanitými odběry vody, charakteristickými pro hotelový provoz. Jsou to: V hotelu Alcron garáže, v hotelu Praha zábavní podnik, v hotelu Evropa hotelová prádelna, v hotelu Palace hotelová prádelna a větší počet sprchových kabin při pokojích. Hotel Esplanade má pouze vlastní hotelový a restaurační provoz. Údaje o kapacitě hotelů jsou sestaveny v tab. I. Vlastní stanovení spotřeby vody je možno rozdělit na zjištění průběhu spotřeby v roce, v měsíci a ve dni.

Tabulka I. Ukazatelé ovlivňující velikost odběru vody v pozorovaných hotelech podle stavu v roce 1957

Hotel	Hotel. skup.	Tek. voda	Kpl porci za den	Nápoje za den		Pokoje				Samost. koupel.	Celkem lůž. v pokoj.	Poznámka		
						s koupelnou		bez koup.						
				teplice	stud.	1 lůž.	2 lůž.	více l.	pokoj	lůž.				
Aleron Nové město, Štěpánská 40	A	T S	650	363	1713	106	47	—	—	—	200	—	Garáže	
Praha (Ambassador) Nové město, Václavské nám. 5	A	T S	449	1051	2382	16	34	12*	49	65	2	108	65	Zábavní podnik
Esplanade Nové město, Washingtonova 19	A	T S	221	372		9	45	—	15	15	1	99	15	
Evropa Nové město, Václavské nám. 29	A	T S	754	1558	1797	14	18	—	62	89	5	50	89	Prádelna a teplá voda do 1 dřezu mimo hotel
Palace Nové město, Panská 12	A	T S	653			10 V 21 S	10 V** 27 S	—	59	73	4	105	73	Prádelna

* Počítáno se dvěma lůžky a přistýlkou podle potřeby.

** V — Koupelna s vanou.

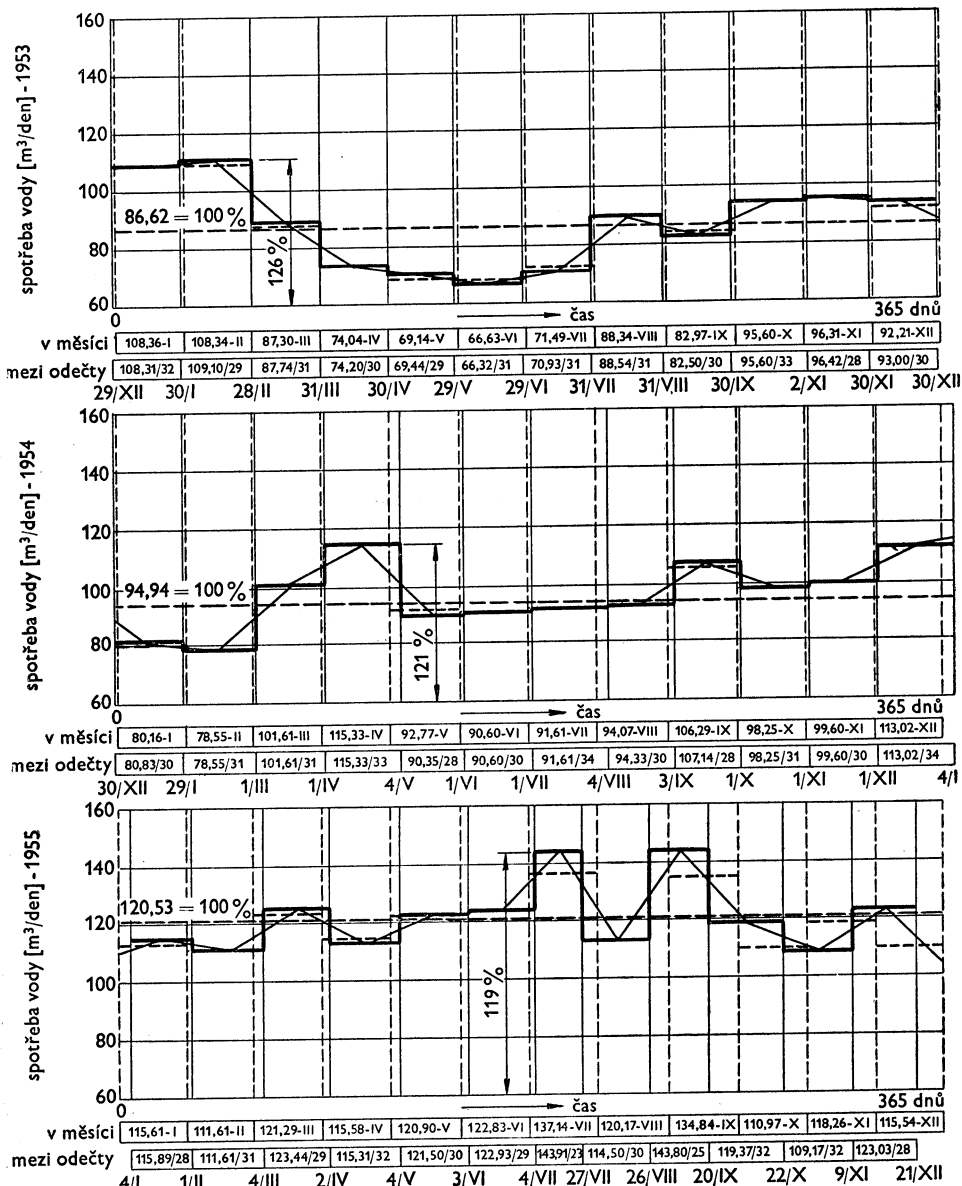
S — Koupelna se sprchou.

2. STANOVENÍ PRŮBĚHU SPOTŘEBY VODY V ROCE

Průběh spotřeby vody byl sledován ve vybraných 5ti hotelech v údobí 5ti let, a to od roku 1953 do roku 1957. Jako údajů bylo použito vodoměrných odečtu Pražských vodáren, prováděných vždy za dobu přibližně jednoho měsíce. Odečty vodoměrů za 300 kalendářních měsíců zachycují 5 pentát se sečtenou dobou měření 25ti let.

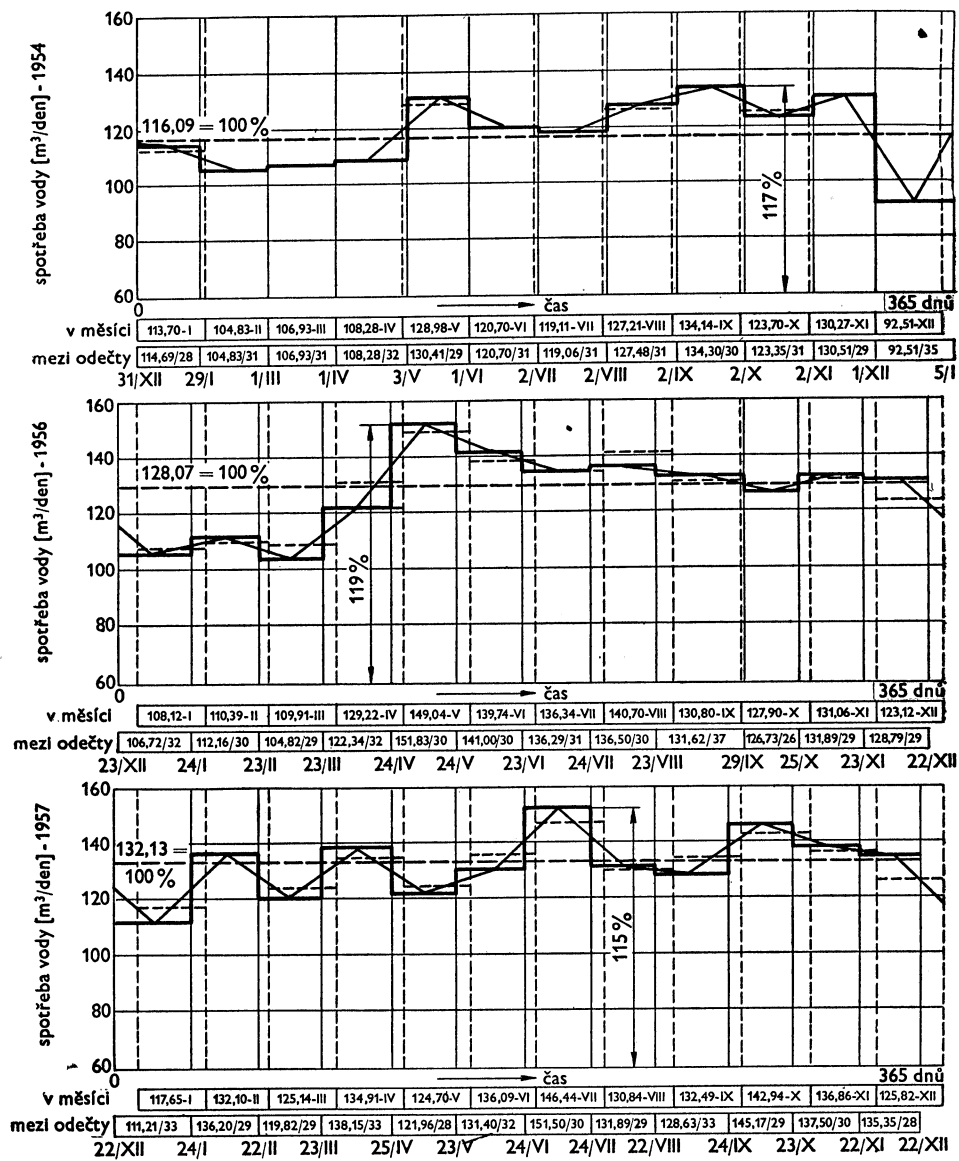
Všechny údaje, které nebyly získány přesným odečtem vodoměrů, např. náhradní množství vody při poruše vodoměru, nebo údaje zcela odlišné od průběhu spotřeby vody v uvažovaném roce, které nemohly být ověřeny, byly vyloučeny a na jejich místo byly dosazeny průměrné údaje z předchozích a následujících odečtů vždy za dobu rovnou přibližně délce jednoho měsíce. Aby byl získán přehled o skutečných spotřebách v kalendářních měsících, byly z množství spotřebované vody mezi odečty propočítány spotřeby spadající do kalendářních měsíců. Všechna data pro jednotlivé hotely byla sestavena do tabulek a vynesena do 25ti diagramů, z nichž každý zachycuje spotřebu vody za 1 rok. Průběhy ve 3 letech ze 2 hotelů jsou na obr. 1 a 2. Všechny hodnoty jsou zde udány v průměrných denních spotřebách (jednak v období mezi dvěma vodoměrnými odečty a jednak v měsíci). Spotřeby vody v období mezi jednotlivými odečty jsou zakresleny plnými čarami a spotřeby spadající do kalen-

dářních měsíců čárkovánými čarami. Základní průměrná denní spotřeba je vyznačena spojitou vodorovnou čárkovánou čarou. Průběh průměrných denních spotřeb je znázorněn spojnicí proloženou středy vrcholů jednotlivých obdělníků. Číselné hodnoty spotřeb spolu s počtem dnů měřeného období a daty odcítání vodoměrů



Obr. 1. Průběh spotřeby vody v roce — hotel Evropa. — průměrné denní spotřeby vody v období mezi jednotlivými odcetky, - - - průměrné denní spotřeby vody v jednotlivých měsících roku.

jsou uvedeny v legendách pod diagramy. Tam, kde se doba odečítání vodoměrů oddaluje více od začátku nebo od konce měsíce, liší se skutečné a propočítané průměrné denní spotřeby tím více, čím více se liší velikost jednotlivých po sobě jdoucích odečtu. Jelikož propočítané spotřeby v kalendářním měsíci jsou vždy nižší než spotřeby ve větším z obou sousedních odečtu, podávají spotřeby vody v období mezi



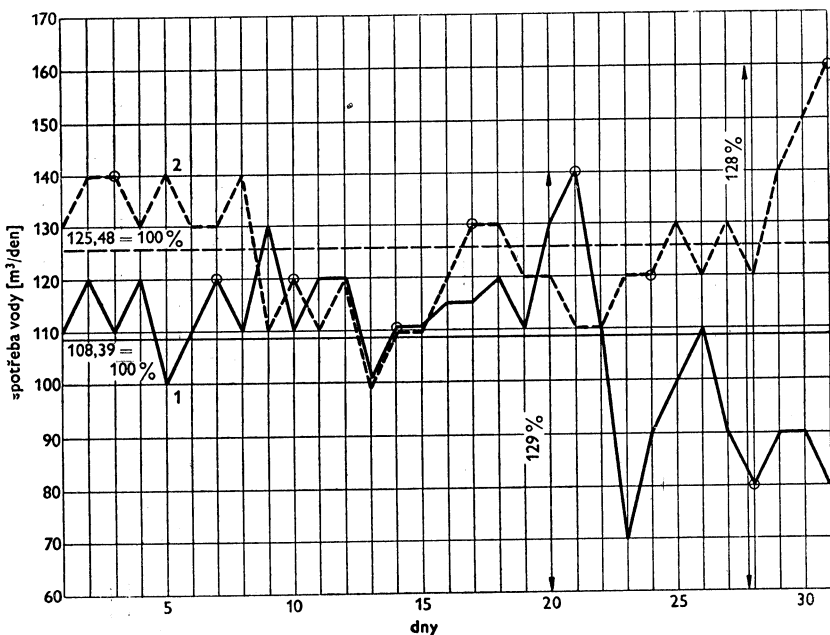
Obr. 2. Průběh spotřeby vody v roce — hotel Alcron. — průměrné denní spotřeby vody v období mezi jednotlivými odečty, ----- průměrné denní spotřeby vody v jednotlivých měsících roku.

odečty pravdivější obraz o skutečné spotřebě vody, i když nezahrnují přesně období jednoho měsíce. Z těchto důvodů je dále při určování průběhu spotřeby vycházeno ze spotřeb vody mezi jednotlivými odečty, a aby se délky mezi odečty rovnaly alespoň přibližně době jednoho měsíce, byly některé výjimečně krátké odečty sloučeny.

Z průběhu spotřeb v diagramech je zřejmé, že spotřeba vody v žádném měsíci výrazně nepřevyšuje průměrnou spotřebu a že se ani v žádném ročním období ne-projevuje trvalá zvýšená spotřeba vody. Zjištěná zvýšená spotřeba v letních měsících v roce 1953 a 1954 v hotelu Praha byla způsobena podle šetření v hotelu přechodným odběrem chladicí vody pro úpravu vzduchu v místnostech zábavního podniku.

3. STANOVENÍ PRŮBĚHU SPOTŘEBY VODY V MĚSÍCI

Pro zjištění spotřeb vody v jednotlivých dnech bylo použito vodoměrných odečtů, prováděných každý den ráno pro vlastní potřebu hotelů. V hotelu Alcron, ve kterém jsou tyto záznamy trvale vedeny, byla dána možnost zpracovat údaje za téměř



Obr. 3. Průběh spotřeby vody v měsíci. 1 — Alcron, březen 1954 (měsíční průměr $108,39 \text{ m}^3/\text{den} = 100\%$), 2 — Alcron, říjen 1954 (měsíční průměr $125,48 \text{ m}^3/\text{den} = 100\%$), o — neděle.

celé 5leté období (celkem 1672 denních odečtů vodoměrů). V hotelu Esplanade a Evropa podařilo se opatřit údaje pouze za necelé 2 roky. Údaje z těchto dvou hotelů však nasvědčují o nepravidelném odečítání, takže nemohly být použity. Přesto však bylo i zde ověřeno kolísání denních spotřeb v několika měsících a byly zde zjištěny menší výchylky než v hotelu Alcron, což nasvědčuje o příznivějších poměrech v odběru vody. V hotelu Praha a Palace se odečty neprováděly. Pro sta-

novení maximální denní spotřeby byly proto použity údaje z hotelu Alcron. Odečty v hotelu Alcron byly prováděny každý den ráno mezi 7. až 8. hodinou. Všechny denní spotřeby byly sestaveny do tabulek a z nich byly vyneseny diagramy zachycující průběh spotřeby vody v měsících. Průběhy ve 2 měsících jsou na obr. 3. V jednotlivých týdnech a dnech měsíce nevyskytuje se zde stálá charakteristická zvýšená spotřeba vody.

4. URČENÍ ZVÝŠENÉ PRŮMĚRNÉ DENNÍ SPOTŘEBY A MAXIMÁLNÍ DENNÍ SPOTŘEBY VODY

Při určování těchto spotřeb je nutno, aby procenta zvýšení postihla zvýšenou spotřebu v měsících a dnech s nepříznivou vysokou spotřebou, ale aby nebyla odvozena ze spotřeby v ojedinělém dni, který se může vyskytnout zcela mimořádně a mohl by ovlivnit průměr vodovodního potrubí natolik, že by bylo téměř stále nevyužito. Rozdělíme-li si postup při určování maximální denní spotřeby na stanovení průměrné zvýšené denní spotřeby pomocí zvyšovacího koeficientu odvozeného z kolísání měsíčních spotřeb, a na stanovení maximální denní spotřeby na podkladě průměrné zvýšené denní spotřeby pomocí zvyšovacího koeficientu odvozeného z kolísání denních spotřeb, musíme počítat s tím, že setkání maxim jednotlivých spotřeb, které by bylo lze teoreticky předpokládat, může se přihodit zcela ojediněle, jak o tom svědčí dále popsáne dlouhodobé pozorování.

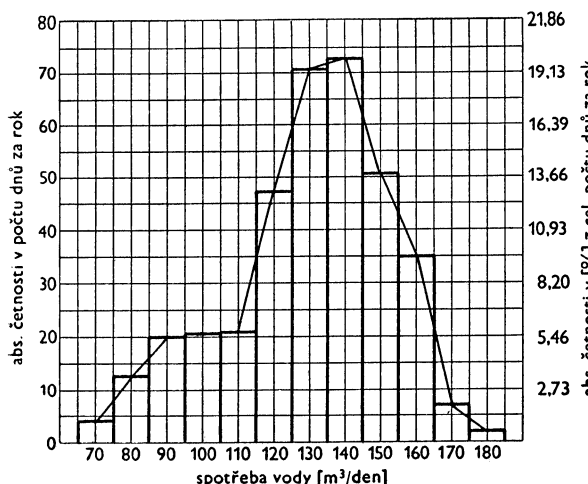
Pro zjištění průběhu spotřeby vody závislého na hotelové současnosti, přináší nejcennější podklady denní zjištování spotřeby po dlouhou dobu, např. za 1 rok. V tomto případě máme k dispozici údaje o spotřebě vody ve velkém pražském hotelu dokonce za 5 let, což nám umožňuje odvodit výši obecně platných zvyšovacích koeficientů s náležitou bezpečností. Údaje o průběhu spotřeby vody v hotelu Alcron za léta 1953—57 jsou sestaveny v tabulce II. Maximální denní spotřeba v jednotlivých letech činila zde nejvíce 149 % základní průměrné spotřeby. To znamená, že zde součin obou zvyšovacích koeficientů nepřesahuje hodnotu 1,49 a s ohledem na tuto výši můžeme postupovat dále při určování obou dílčích koeficientů. Četnosti

Tabulka II. Maximální denní spotřeba vody v hotelu Alcron

	Celková spotřeba m^3 /za období*	Počet dnů změř. období	Zákl. prů- měr. den. spotřeby	Maximální denní spotřeba	
				$v\ m^3$	$v\ %\ z$ průměrné
1953	37 863	334	113,36	160	141
1954	40 363	334	120,85	180	149
1955	33 957	273	124,38	170	137
1956	47 097	366	128,68	180	140
1957	47 890	365	131,21	180	137

* Jelikož denní spotřeby, z nichž je sečtením odvozena celková spotřeba za období, byly při odečítání vodoměrů zaokrouhlovány, neshoduje se přesně roční spotřeba podle vodárný a podle hotelových odečtů. Rozdíl v letech 1956 a 1957 činí méně než 1 % roční spotřeby udávané vodárnou.

výskytu denních spotřeb v tomto hotelu v roce 1956 jsou znázorněny v histogramu se zakresleným mnohoúhelníkem četnosti na obr. 4. Na ose úseček jsou vyneseny spotřeby vody v m^3 /den. Na pořadnících nad nimi je možno odečíst absolutní četnosti v počtu dnů za rok a v procentech z celkového počtu dnů za rok.



Obr. 4. Četnosti výskytu denních spotřeb v hotelu Alcron v roce 1956 (základní průměrná denní spotřeba = 128,68 m^3 /den).

průměrná výše se přibližuje v hotelech s většími výkyvy ve spotřebě hodnotě 1,25 a nejvyšší hodnoty 1,27 dosahuje v hotelu Palace.

Procenta zvýšení nejvyšších denních spotřeb vzhledem k průměrným denním spotřebám v měsících za dobu 5ti let v hotelu Alcron jsou zachycena v tab. IV. Povýšíme-li zde průměrnou denní spotřebu v měsíci na zvýšenou průměrnou denní spotřebu, udávají hodnoty v tabulce procento zvýšení maximální denní spotřeby vzhledem ke zvýšené průměrné denní spotřebě. Tato zvýšení činí v jednotlivých měsících 107–150 %. Podle nejvyššího procenta je možno určit výši zvyšovacího koeficientu pro stanovení maximální denní spotřeby ze zvýšené denní spotřeby. Výše zvyšovacího koeficientu pro jednotlivá léta dosahuje hodnot 1,31–1,50.

Z tabulky III. odečteme pro hotel Alcron průměrný zvyšovací koeficient pro zvýšenou průměrnou denní spotřebu za 5 let (1,14) a z tab. IV. prům. zvyšovací koeficient pro maximální denní spotřebu, vypočítaný z nejvyšších hodnot v každém z 5ti let (1,37). Součin obou koeficientů $1,14 \cdot 1,37 = 1,56$, což je hodnota vystihující dostatečně přesně skutečné zvýšení spotřeby vody, zjištěné podle průtoku za 5 let v hotelu Alcron (1,49), viz tab. II. Vezmeme-li u úvahu zvýšenou průměrnou denní spotřebu v hotelu s většími výkyvy ve spotřebě, v tomto případě v hotelu Palace, kde vychází koeficient 1,27 (tab. III), můžeme vyvodit tyto závěry:

Podle provedeného pozorování průběhu spotřeby vody za 300 měsíců v 5ti největších pražských hotelech bude se zvýšená průměrná denní spotřeba rovnat 127 % základní průměrné denní spotřeby, čemž odpovídá koeficient 1,3 a maximální denní spotřeba 137 % zvýšené průměrné denní spotřeby, čemuž odpovídá koeficient 1,4. Zaokrouhlení koeficientů na vyšší hodnoty bylo provedeno s ohledem na zachycení eventuálních vyšších spotřeb vody, které se nemusely projevit během průběhu.

Zvyšovací koeficienty pro zvýšenou průměrnou denní spotřebu, dané poměrem zvýšené průměrné denní spotřeby a základní průměrné denní spotřeby jsou sestaveny do tab. III. Zde je též vypočítán průměrný zvyšovací koeficient z 5ti let pro každý hotel. Podle způsobu odběru vody ve vybraných hotelech po dobu 5ti let bylo zjištěno kolísání zvýšené průměrné denní spotřeby oproti základní průměrné denní spotřebě v rozmezí od 108 do 150 %. Vzhledem k záměrně volbě rozmanitých typů velkých, dobré vybavených pražských hotelů, můžeme předpokládat, že tato rozmanitost je zachycena též v hodnotě zvyšovacího koeficientu. Jeho

Tabulka III. Roční spotřeby základní a zvýšené průměrné denní spotřeby vody — s určením zvyšovacího koeficientu pro zvýšenou průměrnou denní spotřebu

		Alcron	Praha	Esplanade	Evropa	Palace
Spotřeba 1953	roční průměr. denní zvyš. koef.	41.395 113,41 124,11/10 1,09	48.778 133,64 180,93/8 (1,35**)	33.822 92,66 108,06/8 1,17	31.618 86,62 109,10/2 1,26	26.696 73,14 94,10/11 1,29
Spotřeba 1954	roční průměr. denní zvyš. koef.	42.374 116,09 134,30/9 1,17	52.079 142,68 187,41/8 (1,31**)	33.215 91,00 136,66/12 1,50	35.385 94,94 115,33/4 1,21	31.834 87,22 117,40/11 1,35
Spotřeba 1955	roční průměr. denní zvyš. koef.	46.862 128,39 138,59/9 1,08	48.088 131,75 149,31/9 1,13	42.681 116,93 136,82/7 1,17	43.992 120,53 143,91/7 1,19	42.670 116,90 145,86/12 1,25
Spotřeba 1956	roční průměr. denní zvyš. koef.	46.875 128,07 151,83/5 1,19	43.018 117,53 143,79/7 1,22	43.640 119,24 137,97/5 1,16	38.930 106,36 130,20/10 1,22	40.675 111,13 133,10/3 1,20
Spotřeba 1957	roční průměr. denní zvyš. koef.	48.229 132,13 151,50/7 1,15	44.417 121,69 146,33/2 1,20	46.543 127,52 157,90/1 1,24	45.105 123,57 171,05/12 1,38	38.939 106,68 134,10/12 1,26
Průměrný zvyšovací koeficient z 5ti let		1,14	1,18	1,25	1,25	1,27

* Za čarou označen měsíc výskytu zvýšené průměrné denní spotřeby.

** Tyto hodnoty byly ovlivněny spotřebou chladící vody a proto nebyly pro určení zvyšovacího koeficientu uvažovány.

Tabulka IV. Nejvyšší denní spotřeby vody v měsících, vyjádřené v % z průměrných denních spotřeb v měsících — s určením zvyšovacího koeficientu pro max. denní spotřebu.

	Hotel Alcron												Zvyšov. koefic. pro jednotl. léta	
	Měsíc													
	I	II	III	IV	V	VI	VII	VIII	IX	X	XI	XII		
1953	110	116	108	121	132	113	124	128	119	113	117		1,32	
1954		121	129	120	133	124	150	134	116	128	122	126	1,50	
1955	125	131	130	117	134	107	120	128	120				1,34	
1966	140	127	140	124	123	115	113	131	121	119	119	113	1,40	
1957	125	128	127	131	115	129	114	125	126	122	120	127	1,31	
	Zvyšovací koeficient pro maximální denní spotřebu stanovený jako průměr z koeficientů pro jednotlivá léta												1,37	

měření. *Maximální denní spotřebu vody* vypočítáme tedy ze základní průměrné denní spotřeby vynásobením obou koeficientů

$$1,30 \cdot 1,40 = 1,82 \doteq 1,80 . \quad (1)$$

Vyšší spotřeba nezachycená koeficientem průměrné zvýšené denní spotřeby, projevila se nejnepříznivěji v hotelu Esplanade (viz tab. III), kde se vyskytla během 300 měsíců pouze 1×. Zvýšená průměrná denní spotřeba činí zde 150 % základní průměrné denní spotřeby. Při nejvyšší denní spotřebě odvozené z hotelu Alcron, která činí 150 % ze zvýšené průměrné denní spotřeby (viz tab. IV — VII/54), byla by maximální teoreticky možná denní spotřeba rovna $150\% \cdot 150\% = 225\%$ základní průměrné denní spotřeby. Z toho vyplývá, že maximální denní spotřeba určená podle zjištěných koeficientů bude se stále ještě rovnat $\frac{1,3 \cdot 1,4}{2,25} \cdot 100 =$

$$= 80,88\% \text{ této mimořádné spotřeby.}$$

Pro skutečné poměry v dodávce vody možno i při eventuálním výskytu této teoreticky možné mimořádné spotřeby v mnohých případech předpokládat zlepšení z těchto důvodů: Při rozšířeném odběru v menším rozsahu sníží se přebytek tlaku u výtoků a poklesne jejich vydatnost, což bude mít za následek pouze prodloužení plnění vodou např. van. Tento zjev vyskytne se nejvýrazněji pouze v nejnepříznivějším případě u nejvyšše položených výtoků, když bude všechn tlak spotřebován na překonání statické ztráty a odporu v potrubí a u výtoků bude zbývat jenom předepsaný minimální přetlak. V případě většího přetlaku u výtoků např. při nižších budovách, projeví se rozšíření odběru vody pouze snížením přetlaku směrem k minimální předepsané výši.

Z uvedeného rozboru je zřejmé, že pro krytí této výjimečné, teoreticky v úvahu přicházející spotřeby, je možné počítat s množstvím vody získaným s použitím uvedených koeficientů.

Poznámka redakce: Průběhem spotřeby vody ve dni a určením maximální hodinové spotřeby vody bude se zabývat druhá část práce, která bude zařazena do 4. čísla časopisu ZTV. Zde bude též popsáno prováděné měření průběhu spotřeby vody pomocí kontrolního vodoměru s registracním aparátém a výsledky výzkumu budou aplikovány na příkladu s ekonomickým vyhodnocením.

ОПРЕДЕЛЕНИЕ ТЕЧЕНИЯ ПОТРЕБЛЕНИЯ ВОДЫ В ЗДАНИЯХ ПО ОТНОШЕНИЮ К ПОСТРОЙКАМ ГОСТИНИЦ — ЧАСТЬ I.

Инж. Владимир Скокан

В работе говорится о способе экономного проекта водопроводных труб присоединений и водопроводных магистралей в доме. Автор здесь приводит собственные новые познания, приобретенные в результате долговременного наблюдения за протечением потребления воды по отдельным месяцам года и отдельным дням месяца. Течение потребления воды изображено в диаграммах. Для определения максимального суточного потребления здесь выведены повышенные коэффициенты соответственно отпуску воды.

FESTSTELLUNG DES VERLAUFES VOM WASSERVERBRAUCH IN GEBÄUDEN MIT HINSICHT AUF DIE HOTELSBAUTEN — I. TEIL

Ing. Vladimír Skokan

Der Aufsatz behandelt die Art eines ökonomischen Entwurfes für die Wasserleitungsrohre der Hausanschlüsse und der Hauptauszweige. Der Verfasser beschreibt darin eigene neue Erkenntnisse auf Grund langjähriger Beobachtungen des Wasserverbrauchverlaufes in einzelnen Monaten des Jahres, sowie in einzelnen Tagen des Monates. Die Wasserverbrauchverläufe sind in den Diagrammen dargestellt. Für die Feststellung des maximalen Tagesverbrauches sind hier erhörende Koeffiziente entsprechend dem jeweiligen Wasserverbrauch abgeleitet.

DIAGRAM PRO 1 kg SMĚSI VZDUCHU A VODNÍ PÁRY

Inž. JAROSLAV CHYSKÝ

Ústav tepelné a zdravotní techniky, ČVUT, Praha

Autor navrhl diagram změny stavu vlhkého vzduchu $i - \xi$, kde ξ je poměrný obsah vodní páry ve směsi. Diagram je vhodnou pomocí kou pro některé případy výpočtu sušáren a odparek.

Lektorovali: prof. inž. dr. J. Pulkrábek, doktor technických věd,
inž. V. Tůma, kandidát technických věd.

Pro sledování změn vlhkého vzduchu se používá běžně v technické praxi $i - x$ diagramu vlhkého vzduchu. Tento diagram se však nehodí pro sledování vysokých vodních obsahů vzduchu, protože na příklad pro obsah páry 90 % ve vzduchu vyčází $x = 9000 \text{ g/kg}$. Tak vysoké vodní obsahy nejsou v normálním $i - x$ diagramu zaneseny. Aby mohly být takové stavy vzduchu sledovány, je výhodné sestrojit diagram, který by měl na ose úseček vynesén percentuální obsah vodní páry ve vzduchu ξ . Jeden kg směsi tudíž obsahuje:

$$\xi = 100 \frac{G_p}{G_p + G_v} = 100 \frac{\gamma_p}{\gamma_p + \gamma_v} [\% \text{ vodní páry}] , \quad (1)$$

kde $G_{p,v}$... váhové množství par, vzduchu [kg],

$\gamma_{p,v}$... měrné váhy par, vzduchu [kg/m^3].

Protože $1.000 \frac{\gamma_p}{\gamma_v}$ je vodní obsah vzduchu x (množství vodní páry v g připadající na 1 kg suchého vzduchu), dostaneme dosazením do (1) převod x a ξ

$$x = \frac{1000 \xi}{100 - \xi} [\text{g/kg}] ; \xi = \frac{100 x}{1000 + x} [\%] . \quad (2)$$

Měrná váha směsi γ plyne ze vztahu (1), dosadíme-li za $\gamma_p + \gamma_v = \gamma$. Dalším dosazením ze stavové rovnice, vyčíslením plynové konstanty a převodem na mm Hg máme:

$$\gamma = \frac{\gamma_p}{\xi} = \frac{p_{\text{kg/m}^3} \cdot 100}{RT \cdot \xi} = 28,9 \frac{p_{\text{mm Hg}}}{T \cdot \xi} , \quad (3)$$

kde γ ... měrná váha směsi vzduchu a páry [kg/m^3],

γ_p ... měrná váha páry ve vzduchu při teplotě T a tlaku p [kg/m^3],

R ... 47,07 — plynová konstanta vodní páry,

T ... $273 + t$ °C — teplota [°K].

Dosazením do vzorce pro $x = 622 \frac{p_p}{B - p_p}$ dostaneme (B — barometrický tlak):

$$\xi = \frac{62,2 p_p}{B - 0,378 p_p} = \frac{62,2}{\frac{B}{p_p} - 0,378} [\%] , \quad (4)$$

$$p_p = \frac{B \cdot \xi}{62,2 + 0,378 \xi} [\text{mm Hg}] . \quad (5)$$

Pro entalpii 1 kg vlhkého vzduchu dostaneme vztah:

$$i = 0,24 \left(1 - \frac{\xi}{100} \right) + 5,97 \xi + 0,0046 \xi \cdot t \quad (6)$$

Podle této rovnice nanášíme do diagramu isotermy. Jak vyplývá z rovnice, jsou to přímky. Pro konstrukci bylo předpokládáno: Měrné teplo vzduchu $c_v = 0,24 = \text{konst.}$ (při teplotě 500 °C je chyba tím vzniklá 2,2 %) a měrné teplo vodní páry $c_p = 0,46 = \text{konst.}$ (při teplotě 100 °C chyba 0,3 %, při teplotě 300 °C chyba 0,07 %). Tyto chyby lze prakticky zanedbat.

Do A kg vlhkého vzduchu o stavu i_A a ξ_A přidáváme B kg vzduchu o stavu i_B , ξ_B . Po smíšení bude vzduch obsahovat:

$$\xi = \frac{A \cdot \xi_A + B \cdot \xi_B}{A + B} [\% \text{ vodní páry}]$$

a jeho entalpie bude

$$i = \frac{A \cdot i_A + B \cdot i_B}{A + B} .$$

Dosadíme-li $\frac{B}{A} = n$, dostaneme:

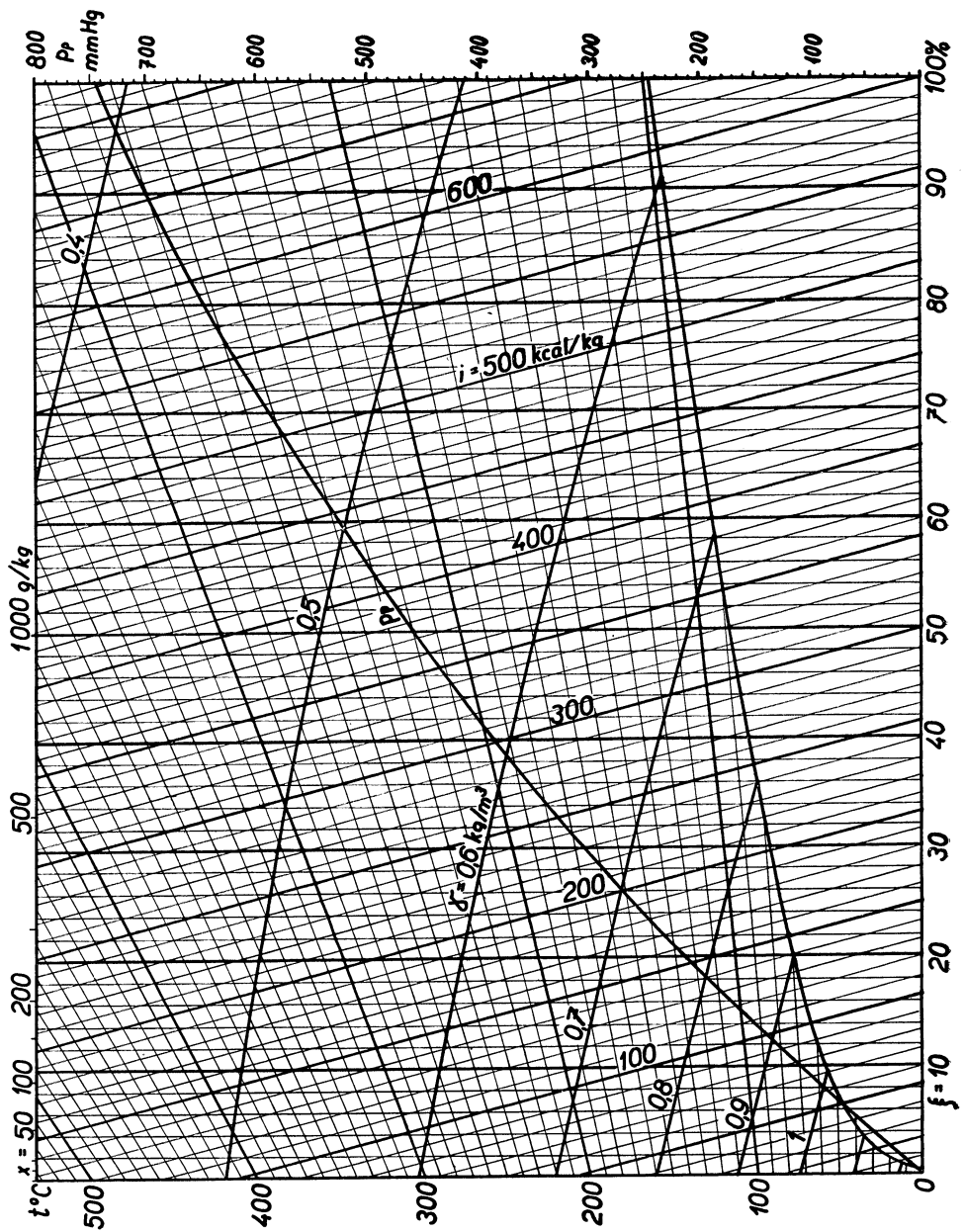
$$\xi = \frac{\xi_A + n \cdot \xi_B}{1 + n} ; \quad i = \frac{i_A + n \cdot i_B}{1 + n} .$$

Vyloučením n z obou rovnic:

$$n = \frac{\xi - \xi_A}{\xi_B - \xi} = \frac{i - i_A}{i_B - i} = \frac{B}{A} .$$

Výsledný stav leží tedy na přímce spojující oba body. Konstrukce je stejná, jako v $i - x$ diagramu, totiž, že spojnice bodů rozdělíme v obráceném poměru obou množství. Rozdíl je ten, že v $i - x$ diagramu značí A a B množství suchého vzduchu, kdežto v našem diagramu množství vzduchu vlhkého.

Diagramy a vztahy lze použít i pro přidávání páry do vzduchu. V tomto případě dosadíme za $\xi_B = 100\%$. Stejně by tomu bylo při přidávání vody do vzduchu, bod určující stav vody by však ležel mimo diagram (v průsečíku $\xi = 100\%$ a příslušné $i = \text{konst.}$).



Příklady použití diagramu

1. Na jakou teplotu musíme předehřát vzduch $t = 20^{\circ}\text{C}$, $\varphi = 60\%$, $x = 9 \text{ g/kg}$, aby při přidávání syté páry 3 ata ($i = 651,6 \text{ kcal/kg}$) nenastala při libovolném smíšení kondensace par.

Z průsečíku $\xi = 100\%$ a $i = 651,6 \text{ kcal/kg}$ vedeme tečnu ke křivce sytosti a v průsečíku svislice $x = 9$ ($\xi = 0,9$) s touto tečnou dostaneme hledanou teplotu $t = 44^\circ\text{C}$.

2. Parním ejektem odsáváme vzduch 30°C a $\varphi = 35\%$ ($x = 9,5 \text{ g/kg}$) tak, že na 1 kg vzduchu připadá 1,5 kg páry 5 ata, 240°C ($i = 701 \text{ kcal/kg}$). Voda ze vzduchu se získává zpět kondensací ve výměníku a získané teplo se využívá k vytápění. Jaká musí být povrchová teplota na výměníku, aby nastala kondensace na celém povrchu.

Spojením obou bodů, určujících stav vzduchu a páry a rozdělením úsečky v poměru 3 : 2 dostaneme výsledný stav po smíšení: Obsah par ve vzduchu 60,3 % a teplota 183°C . Aby nastala kondensace, musí být teplota povrchu nižší než 92°C (teplota rosného bodu).

Literatura

- [1] Bošnjakovič: Techničeskaja těrmodinamika, čast' vtoraja, Moskva 1956.
- [2] Vlnas: Tepelné diagramy vlhkého vzduchu — Technické zprávy VSCHP 1/1957.
- [3] Andersen: Psychometric Chart for Air — Water Vapour Mixtures. Kulde, srpen 1951 č. 4.

ДИАГРАММА ДЛЯ 1 КГ СМЕСИ ВОЗДУХА И ВОДЯНОГО ПАРА.

Инж. Ярослав Хиски

Автор предложил диаграмму воздуха $i - \xi$, где ξ — относительное содержание водяного пара в смеси. Диаграмма является хорошим пособием для некоторых случаев расчетов сушилок и испарителей.

Ing. Jaroslav Chyský

DIAGRAMM FÜR 1 KG DER LUFT- UND WASSERDUNSTMISCHUNG

Der Verfasser hat ein Diagramm der Zustandsveränderung der feuchten Luft $i - \xi$ entworfen, wo ξ den relativen Inhalt des Wasserdunstes in der Mischung vorstellt. Das Diagramm ist ein geeigneter Behelf für bestimmte Berechnungsfälle der Trocknungsanlagen und der Verdampfer.

VYSOKOÚČINNÉ ODLUČOVAČE OLEJOVÉ MLHY Z TLAKOVÉHO VZDUCHU

Inž. OTAKAR ŠTORCH

Závody na výrobu vzduchotechnických zařízení — Výzkumný ústav vzduchotechniky, Praha

Autor popisuje dva typy vysokoúčinných čističů tlakového vzduchu navržené ve Výzkumném ústavu vzduchotechniky v Praze, které byly vyzkoušeny jak laboratorně, tak v provozu. Zkoušky prokázaly, že oba typy, jak odlučivostí, tak spolehlivostí provozu plně vyhovují.

Lektoroval: inž. dr. L. Oppl

1. ÚVOD

Tlakového vzduchu v průmyslu je možno použít např. jako čerčího vzduchu při pneumatické dopravě sypkého materiálu ze sil, ve kterých je materiál skladován či převážen a při pneumatické dopravě čerčícími žlaby. V těchto případech prostupuje tlakový vzduch tkaninou či keramickými deskami, které tvoří dna popřípadě stěny sil a kanálů. Aby nenastalo zanášení čerčících tkanin a desek nečistotami, především kapičkami oleje obsaženými ve vzduchu vystupujícím z kompresorů, je nutno zařadit za kompresor vysokoúčinný odlučovač, ve kterém je tlakový vzduch zbaven pokud možno všech pevných i kapalných přímisenin. Je samozřejmé, že uvedený případ není jediným, kdy je v průmyslu třeba dokonale odloučit z tlakového vzduchu olejovou mlhu a jiné přímiseniny.

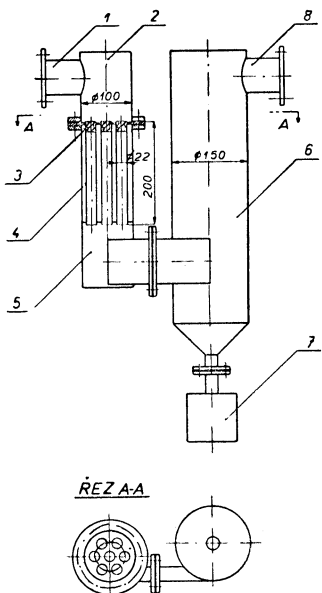
2. DOSAVADNÝ STAV ČIŠTĚNÍ TLAKOVÉHO VZDUCHU

Pro čištění tlakového vzduchu za kompresorem od rozptýlených kapiček oleje, vody, popř. jiných nečistot se v našem i zahraničním průmyslu až dosud užívalo různých druhů odlučovačů, založených na různých fysikálních základech. Nejjednodušší odlučovače využívají pro odlučování náhlé změny směru či rychlosti znečištěného plynu. Dále se užívají různé typy odstředivých odlučovačů často kombinovaných s filtračními vložkami z drátěného pletiva nebo kovových třísek. Jiné filtry mají pouze filtrační vložky. Všechny popisované odlučovače [1] [2] [3] však nevyhovují buď z hlediska požadované vysoké odlučivosti nebo trvalého nepřerušovaného provozu. Proto byly ve Výzkumném ústavu vzduchotechniky navrženy vysokoúčinné čističe tlakového vzduchu, určené zejména pro čištění čerčího vzduchu.

3. NAVRŽENÉ ČISTIČE TLAKOVÉHO VZDUCHU

Při návrhu čističů tlakového vzduchu se vyšlo především z požadavku, aby odlučovače byly vysoce účinné i pro nejmenší částice obsažené v tlakovém vzduchu po jeho výstupu z kompresoru, měly přijatelný tlakový spád, byly schopné co nejdéle nepřerušovaného provozu, byly výrobně jednoduché a měly malé rozměry. Byly navrženy dva typy odlučovačů:

Několikabuňkový osový odstředivý odlučovač využívá pro odloučení kapalných přímisenin z tlakového vzduchu odstředivé síly. Byly zvoleny malé odstředivé odlučovače zvlášť upravené pro odlučování kapalných částic (se značnými oběžnými rychlostmi, aby odstředivá síla působící na částice byla co největší).



Obr. 1. Několikabuňkový osový odstředivý odlučovač (1 – přívodní potrubí, 2 – rozdělovač prostor odlučovače, 3 – vírník, 4 – buňka, 5 – spodní část odlučovače, 6 – odstředivý skrubr, 7 – sběrná nádoba, 8 – výstupní potrubí).

dně přívodní trubky obdélníkového průřezu i kapalina, která odkapala od spodního okraje buněk na dno spodní části prvního odlučovače.

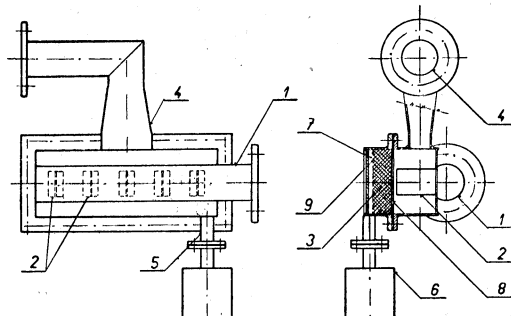
Provedení štěrbinového setrvačného odlučovače s filtrační náplní skelné vaty (dále jen setrvačný odlučovač se skelnou vatou) je nakresleno na obr. 2. Tlakový vzduch obsahující rozptýlené kapalné částice vstupuje do odlučovače potrubím a dělí se na několik dílčích proudů, z nichž každý prochází tryskou se štěrbinovitým otvorem, ze které vystupuje značnou rychlosťí, kolem 60 m/s. Štěrbiny mají délku 50 mm a šířku 2 mm. Proti štěrbinám trysek je umístěna vrstva skelné vaty, na kterou vzduch značnou rychlosťí naráží a vniká do ní. Kapalné částice rozptýlené ve vzduchu jednak ulpívají na vrchní vrstvě skelné vaty, na kterou jsou setrvačností vrhány značnou rychlosťí, jednak jsou zachycovány v dalších vrstvách skelné vaty, kterými vzduch prochází. Výstup vzduchu z odlučovače je proveden na stejně straně vrstvy skelné vaty jako jsou štěrbiny, takže vzduch, který vniká do vrstvy skelné vaty naproti štěrbinám, se ve vrstvě skelné vaty rozptýlí a vystupuje z ní malou rychlosťí po stranách štěrbin. Zachycená kapalina stéká skelnou vatou ke dnu, odkud je odváděna do sběrné nádoby. Prostor za vrstvou skelné vaty umožňuje lepší odvod zachycené ka-

Štěrbinový setrvačný odlučovač s filtrační náplní skelné vaty využívá pro odlučování jednak setrvačnosti částic narážejících velkou rychlosťí na půrovitou překážku, jednak filtračního účinku skelné vaty.

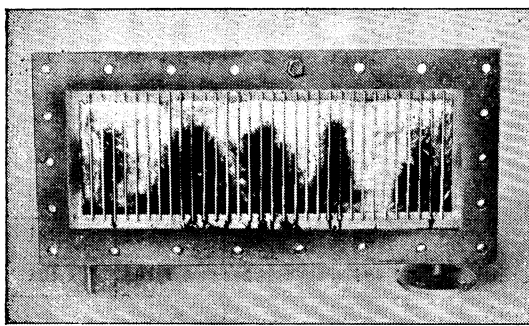
Provedení několikabuňkového osového odstředivého odlučovače (dále jen odstředivý odlučovač) je nakresleno na obr. 1. Celý odlučovač je tvořen dvěma různými druhy odstředivých odlučovačů, umístěnými za sebou. Tlakový vzduch obsahující rozptýlené kapalné částice se po svém vstupu do rozdělovačního prostoru odlučovače dělí na několik dílčích proudů, z nichž každý prochází jednou buňkou. Každá buňka je tvořena trubkou vnitřního průměru 22 mm a délky 200 mm, tj. 9 průměrů. Plyn přiváděný do buňky je v ní uveden do intensivního oběžného proudění vírničkem, který má 4 drážky (na způsob čtyřchodého závitu). Horní konce trubek jsou vzduchotěsně zaletovány v plechu, který přesahuje mezi příruby spojující vrchní část odlučovače tvořící rozváděcí prostor se spodní částí odlučovače, do které jsou buňky zapuštěny. Kapalné částice po dosažení stěny trubky na ní ulpívají a stekají po ní dolů. Od spodního okraje trubky kapky jednak odkapávají na dno spodní části odlučovače, jednak mohou být částečně proudem vzduchu vystupujícím z buňky strhávány a unášeny. Aby byly zachyceny i tyto, již relativně velké kapky, je za odlučovač obsahující buňky připojen další odstředivý odlučovač většího průměru, provedený na způsob odstředivého skrubru VTI např. [4], ve kterém jsou větší kapky zachyceny. Do tohoto odstředivého odlučovače stéká po

paliny. Prostor pro skelnou vatu je na povrchu ohraničen mříží vytvořenou dráty průměru 2 mm, vzdálenými od sebe asi 10 mm a umístěnými tak, aby proti každé štěrbině byla volná mezera mezi dráty mříže. Pod vrstvou skelné vaty je drátěná síť, která je podepřena několika žebry nedosahujícími až ke dnu odlučovače. Fotografie části odlučovače se skelnou vatou zakrytou mříží po několikahodinovém provozu je na obr. 3.

Pro snadnou rozebíratelnost a plnění skelnou vatou je odlučovač rozdelen, přibližně v rovině ústí štěrbin, na dvě části spojené přírubami. Jedna část obsahuje přívod vzduchu, trysky a odvod vzduchu. Ve druhé části je na drátěné síti skelná vata, na kterou je, jak již bylo řečeno, zejména přiložena mříž, která je přiletována k rámu z tenkého plechu zasahujícího mezi příruby. Ze stran plech poněkud přesahuje nad vrstvu



Obr. 2. Štěrbinový setrvačný odlučovač s filtrační náplní skelné vaty (1 — přívodní potrubí, 2 — tryska se štěrbinovitým otvorem, 3 — skelná vata, 4 — výstupní potrubí, 5 — trubka pro odvod kapaliny, 6 — sběrná nádoba, 7 — volný prostor, 8 — drátěná mříž, 9 — drátěná síť).



Obr. 3. Fotografie filtrační náplni skelné vaty štěrbinového setrvačného odlučovače po několikahodinovém provozu.

skelné vaty, aby bylo zamezeno prouďení vzduchu podél stěn odlučovače.

Pro zajištění plynulého odvodu zachycené kapaliny je nutné, aby odlučovač byl zamontován tak, aby jednotlivé štěrbiny byly svislé a odvod zachycené kapaliny byl dole.

Před prováděnými zkouškami byl odlučovač naplněn skelnými vláknami, síly 7–10 mikronů roztríhanými na délku asi 25 mm. Prostor pro skelná vlákna má v odlučovači obsah asi 1300 cm^3 a váha vláken umístěných v tomto prostoru byla 110 g, takže měrné zaplnění prostoru skelnou vatu bylo asi $0,085 \text{ g/cm}^3$.

4. VÝSLEDKY ZKOUŠEK

Popsané dva typy odlučovačů byly proměřeny jednak ve zkušebně, jednak v provozu za kompresorem typu ATMOS R 200.

Měřením ve zkušebně byl zjištován jednak tlakový spád odlučovačů pro různá průtočná množství, jednak jejich odlučivost pro velmi jemné kapičky známé velikosti. Při měření byly na výstupní hrdlo ventilátorů postupně za sebou napojeny: clonková trať, mezikus s nátrubkem pro rozprašovač, přechodový kužel, mezikus s nátrubkou pro měření tlaku a koncentrace kapalných čisticích, odlučovač bud odstředivý nebo setrvačný se skelnou vatou a druhý mezikus a nátrubky pro měření tlaku a koncentrace.

Rozprašování kapaliny bylo prováděno rozprašovačem [5], který vytvářel za určitých podmínek při rozprašování nasyceného roztoku CaCl_2 kapičky, jejichž velikost, měřeno opticky, se z 97% pohybovala v rozmezí 0,5–3 mikrony. Při prováděných měřeních bylo místo roztoku CaCl_2 použito oleje zbaveného zahřátím prchavých frakcí. Vzhledem k menšímu povrchovému napětí použitého oleje (32,8 mg/cm) než roztoku CaCl_2 (75,15 mg/cm), lze předpokládat, že vznikající kapičky byly při použití oleje ještě o něco jemnější než při rozprašování roztoku CaCl_2 .

Koncentrace kapiček před odlučovači byla dána množstvím oleje rozprášeného rozprašovačem, zjištěným vážením rozprašovače před a po pokuse. Koncentrace kapiček za odlučovači byla měřena pomocí sondy zabudované v mezikuze za odlučovačem. Tato sonda byla připojena krátkou gumovou hadičkou k filtru měřící sondy [6], obsahujícímu dva papírové filtry účinné plochy $0,5 \text{ dm}^2$ za sebou. Na první filtr byla zachycována olejová mlha, druhý filtr byl kontrolní pro eliminaci změny vlhkosti filtrů při jejich vážení před a po pokuse. Za filtrem byla umístěna clonková trať pro měření množství vzduchu odsáteho sondou a prošlého filtračními papíry. Odsávání dležího množství bylo prováděno vývěvou připojenou hadicí ke clonkové trati měřící sondy.

Tabulka I. Naměřené a vypočtené hodnoty získané při laboratorních měřeních obou odlučovačů

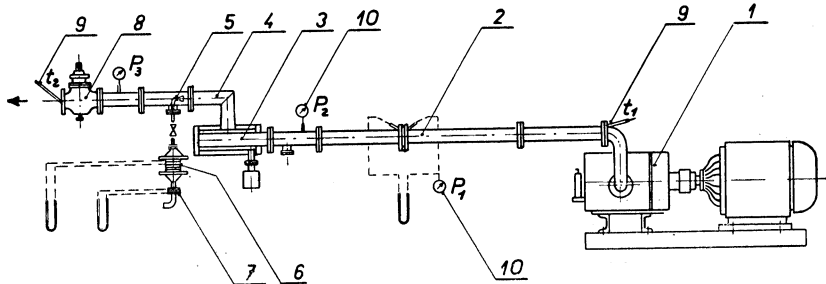
Pokus č.	1	2	3	4
Provedení odlučovače	Odstředivý odlučovač	Odstředivý odlučovač	Setrvačný odlučovač se skelnou vatou (5 šterbin)	Setrvačný odlučovač se skelnou vatou (5 šterbin)
Doba trvání pokusu [min]	64	80	80	60
Tlak vzduchu před odlučovačem [mm v.s.]	398	397	397	397
Teplota před odlučovačem [$^{\circ}\text{C}$]	29	32	31	31
Měrná váha vzduchu před odlučovačem [kg/m^3]	1,181	1,191	1,191	1,191
Množství oleje obsažené ve vzduchu vystupujícím z rozprašovače — rozprášeno [g]	7,45	11,15	11,08	8,35
Průtočné množství odlučovačem [kg/s]	0,032	0,0318	0,045	0,045
Celkové průtočné množství odlučovačem [kg]	122,8	152,5	216,0	162,0
Průtočné množství odlučovačem [1/s]	27,1	26,7	37,8	37,8
Koncentrace před odlučovačem [g/kg]	0,0607	0,0732	0,0513	0,0516
Tlakový spád odlučovače [mm v. s.]	398	397	397	397
Celkové množství vzduchu odvedené sondou [kg]	3,61	4,51	4,54	3,43
Množství vzduchu odvedené sondou [kg/min]	0,0564	0,0564	0,0568	0,0568
Množství oleje zachycené na filtru [g]	0,0178	0,0201	0,00425	0,0045
Koncentrace za odlučovačem [g/kg]	0,00493	0,00446	0,000936	0,00131
Odlučivost odlučovače [%]	92,0	93,8	98,1	97,4

Všechny naměřené i vypočtené hodnoty získané při laboratorním proměřování obou odlučovačů, důležité pro posouzení proměřovaných odlučovačů, jsou uvedeny v tab. I. Z těchto hodnot vyplývá:

1. Při stejném tlakovém spádu obou odlučovačů (397 mm v. sl.) bylo průtočné množství setrvačného odlučovače se skelnou vatou asi o 40% vyšší.

2. Koncentrace kapiček před odlučovači byla při všech měřených velmi nízká, pochybovala se v rozmezích 0,051–0,073 g/kg vzduchu. I při této malé koncentraci velmi jemných kapiček měly oba odlučovače vysokou odlučivost; odstředivý odlučovač kolem 93%, setrvačný odlučovač se skelnou vatu v jednom případě dokonce 98,1%. V důsledku uvedených odlučivostí byla dosažena vysoká čistota vzduchu vystupujícího z odlučovačů; u odstředivého odlučovače byla asi 0,0045–0,0049 g/kg, u setrvačného odlučovače se skelnou vatou dokonce pouze 0,0009–0,0013 g/kg vzduchu.

Při provozních zkouškách byly odlučovače použity k čištění stlačeného vzduchu vystupujícího z kompresoru ATMOS R 200, který je používán jako zdroj čerstvého vzduchu při pneumatické dopravě cementu ze sil. Při měření byly na výstupní hrdlo kompresoru postupně za sebou napojeny: spojovací mezíkus s teploměrnou jímkou, clonková trať, mezíkus s nátrubky pro měření tlaku a koncentrace kapalných částic, odlučovač buď odstředivý nebo setrvačný se skelnou vatou, druhý mezíkus s nátrubkem pro měření tlaku a koncentrace a škrticí kohout k vytvoření tlaku v měřícím zařízení. Schéma měřícího zařízení je na obr. 4.



Obr. 4. Schéma měřícího zařízení při provozních zkouškách odlučovačů (1 — rotační kompresor ATMOS, 2 — clonková trať, 3 — štěrbinový setrvačný odlučovač s filtrační náplní skelné vaty nebo několikabuňkový odstředivý odlučovač, 4 — výstupní potrubí z odlučovače, 5 — odběrová trubka se sondou, 6 — filtr měřící sondy, 7 — clonka filtru měřící sondy, 8 — škrticí ventil, 9 — teploměry t_1 , t_2 , 10 — manometry P_1 , P_2 , P_3).

Množství oleje obsažené ve vzduchu vystupujícím z kompresoru bylo dánou úbytkem oleje v olejové nádrži kompresoru. Množství oleje a nečistot vystupujících z proměřovaných odlučovačů bylo měřeno stejným způsobem jako ve zkušebně. Při provozních zkouškách byl dvakrát proměřen několikabuňkový osový odstředivý odlučovač (pokus č. 1 a 5) a třikrát štěrbinový setrvačný odlučovač s filtrační náplní skelné vaty (jednou s pěti štěrbinami — pokus č. 2 a dvakrát se čtyřmi štěrbinami — pokus č. 3 a 4). Všechny naměřené i vypočtené hodnoty důležité pro posouzení obou proměřovaných odlučovačů jsou uvedeny v tab. II. Jak je z tabulký patrno, je odlučivost obou proměřovaných prototypů odlučovačů velmi vysoká, a to asi 98%.

Odlučivost setrvačného odlučovače se skelnou vatou se zvětšila při zmenšení počtu štěrbin z pěti na čtyři (čímž se zvětšila rychlosť stlačeného vzduchu ve štěrbinách

Tabulka II. Naměřené a vypočtené hodnoty získané při provozních měření s oběma odlučovači

Pokus č.	1 Odstředivý odlučovač	2 Setrváčný odluč. se skeinou vatou (5 štěrbin)	3 Setrváčný odluč. se skeinou vatou (4 štěrbiny)	4 Setrváčný odluč. se skeinou vatou (4 štěrbiny)	5 Odstředivý odlučovač
Provedení odlučovače					
Doba trvání pokusu [min]	30	30	30	30	30
Tlak vzduchu za kompresorem — p_1 [atp]	2,07	2,07	2,09	2,05	2,05
Teplota za kompresorem — t_1 [$^{\circ}$ C]	135	140	138	159	156
Měrná váha vzduchu před odlučovačem [kg/m^3]	2,57	2,54	2,57	2,41	2,43
Množství oleje obsažené ve vzduchu vystupujícím z komp. [g/30 min.]	39,4	39,4	39,4	39,4	39,4
Průt. množství odlučovačem [kg/s]	0,0746	0,0785	0,0732	0,0708	0,649
Celk. průt. množství [kg/30 min.]	134,2	141	132	127	117
Průt. množství odlučovačem [1/s]	28	30,9	28,5	29,4	26,3
Koncentrace před odluč. [g/kg]	0,2935	0,2795	0,298	0,310	0,3365
Tlakový spád odlučovače $p_2 - p_3$ [ata]	0,09	0,055	0,060	0,060	0,08
Celk. množství odvedené sondou [kg/30 min.]	2,13	2,13	2,035	2,035	2,035
Dílčí množství odvedené sondou [kg/s]	0,001182	0,001182	0,00113	0,00113	0,00113
Množství oleje zachycené na filtru sondy [g]	0,01175	0,0117	0,0062	0,01525	0,01425
Koncentrace za odluč. [g/kg]	0,00551	0,0055	0,0034	0,0075	0,007
Teplota za zkuš. zařízení — t_2 [$^{\circ}$ C]	60,4	72,5	80	95	81
Odlučivost odlučovače [%]	98,3	98,1	98,9	97,6	97,8

přibližně z 60 m/s na 72 m/s, z 98,1% na 98,9%, tj. čistota plynu vystupujícího z odlučovače se zvětšila asi o 40%. Poněkud nižší odlučivost naměřená při pokuse č. 4 (97,6%), byla pravděpodobně způsobena vysokou teplotou čištěného plynu v odlučovači.

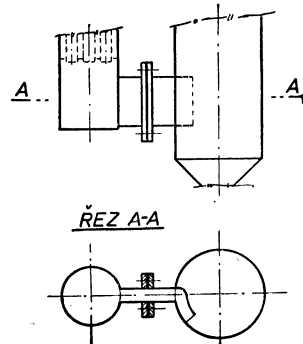
Vliv teploty čištěného vzduchu na odlučivost je možno sledovat i při dvou měření provedených na odstředivém odlučovači. Při prvním (měření č. 1), byla naměřena odlučivost 98,3%, přičemž průměrná teplota za kompresorem byla 135 °C a za měřicím zařízením 60 °C. Při druhém měření (č. 5) byla průměrná teplota vyšší (156 °C za kompresorem a 81 °C za měřicím zařízením) a odlučivost klesla na 97,8%.

Na základě zkušeností získaných při uvedených měřeních se doporučuje pro provozní účely provést na popsaných provedeních odlučovačů tyto úpravy:

- a) U odstředivého odlučovače (obr. 1) z pevnostních důvodů provést výstup plynu z prvního odlučovače (obsahujícího buňky) i vstup plynu do druhého odlučovače radiálně a upravit jej tak, aby proud vzduchu byl v odstředivé komoře odlučovače uveden do oběžného proudění (obr. 5).
- b) U setrvačného odlučovače se skelnou vatou (obr. 2) zmenšit původní počet trysek na čtyři. Sílu vrstvy náplně skelné vaty zvýšit na 40 mm a prostor pro skelnou vatu zaplnit tak, aby se měrné zaplnění zvýšilo z původních $0,085 \text{ g/cm}^3$ asi na $0,15 \text{ g/cm}^3$.

5. ZÁVĚR

Na základě provedených laboratorních a provozních zkoušek je možno říci, že pro dokonalé čištění tlakového vzduchu od olejové mlhy a jiných přimísenin lze použít jak odstředivé odlučovače s malými průměry odstředivé komory (nejvýše několik cm) zvlášt upravené pro odlučování kapalných částic, tak odlučovače využívající narážení částic značnou rychlosťí na póravitou překážku, kombinované s filtračním účinkem skelné vaty o průměru vláken 7–10 mikronů. Oba popsané typy odlučovačů vyhovují kladeným požadavkům jak odlučivosti a tlakovým spádem, tak svými rozměry a spolehlivostí provozu. Štěrbinový setrvačný odlučovač s filtrační náplní skelné vaty má menší tlakový spád a nepatrne větší odlučivost než několikabuňkový odstředivý odlučovač.



Obr. 5. Doporučená konstrukční úprava několikabuňkového osového odstředivého odlučovače.

-
- [1] Walter Leo: Piping of Compressed Air. Compressed Air engineering 15/1950 str. 151—154, str. 188—193.
 - [2] Smirnov A.S.: Oborudovanie i eksplotacija kompresornych stancij. Gostoptechzdat 1947
 - [3] Niggli L.: Massnahmen zur Instandhaltung von Werkzeugmaschinen, elektrischen Einrichtungen, Druckluftanlagen und Transportmitteln. Schweiz. techn. Z. 51/1954, č. 9, str. 135—138.
 - [4] Štorch O.: Průmyslová odlučovač zařízení. SNTL 1957.
 - [5] Štorch O.: Prototypy laboratorního rozprášovače pro velikost kapiček 1—3 mikrony. Zpráva VÚV: Z-56-033.
 - [6] Míček G.: Měření pršnosti vahovou metodou zachycováním prachu v papírovém filtru. Zpráva VÚV: Z-56-034.
 - [7] Štorch O.: Odlučovače olejové a vodní mlhy z tlakového vzduchu. Zpráva VÚV: Z-57-096.

ВЫСОКОЭФФЕКТИВНЫЕ ОТДЕЛИТЕЛИ МАСЛЕННОГО ТУМАНА ДЛЯ СЖАТОГО ВОЗДУХА.

Инж. Отакар Шторх

Автор описывает два типа высокоеффективных фильтров для сжатого воздуха, предложенные Научно-исследовательским институтом воздухотехники в Праге, которые прошли лабораторные и производственные испытания. Испытания показали, что эти оба типа с точки зрения очистки воздуха и надежности вполне пригодны в эксплуатации.

HIGHLY EFFECTIVE SEPARATORS OF OIL FOG OF AIR-PRESSURE

Ing. Otakar Štorch

The author describes two types of highly effective cleaners of air-pressure, proposed by the Research Institute of Air-Technique in Prague. By the results of laboratory and production tests both types have proved as fully satisfactory as regard their separability and reliability in practice.

TEPLOTNÍ GRADIENTY V HORKÝCH PROVOZECH

Inž. dr. LADISLAV OPPL

Ústav hygieny práce a chorob z povolání, Praha

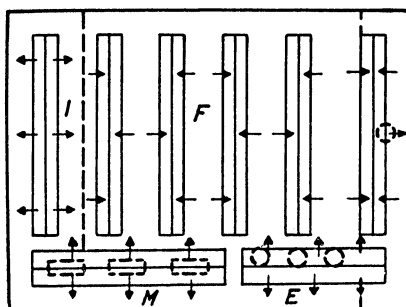
Článek obsahuje doplněné hodnoty teplotních gradientů pro výpočet aerace horkých provozů. Dále je v článku vynesena závislost pásmá teplotních gradientů na měrném tepelném zatížení horkých provozů a jsou uvedeny některé pokyny pro projekci.

Lektoroval: inž. dr. J. Cihelka

Seznam označení:

 F — půdorysná plocha provozovny [m^2] G — váhové množství vyměňovaného vzduchu [kg/h] Q — tepelná zátěž provozovny [$kcal/h$] q — měrná tepelná zátěž provozovny [$kcal/m^2h$] t_o — teplota odváděného vzduchu [$^{\circ}C$] t_z — teplota venkovního vzduchu [$^{\circ}C$] τ — teplotní gradient [$^{\circ}C/m$], tj. přírůstek teploty na 1 m výšky ve svislém směru.

Výstavba nových hutních závodů staví stále do popředí otázku větrání horkých provozoven. Přitom nejde ani tak o volbu větracího systému, jako spíše o jeho spolehlivý výpočet a správné dimensování zařízení. Co se týče volby větrání, tj. umělého nebo přirozeného, převládá v projektech horkých provozů naprosto jednoznačně způsob druhý a to zcela oprávněně, jak bylo prokázáno úvahami ekonomickými i srovnáváním hygienických podmínek na pracovištích. Nesmíme však zapomínat, že přirozené větrání — aerace — je určeno především pro odvádění tepla a že jeho správná funkce je závislá právě na přebytečném teplu provozovny. Nelze proto očekávat uspokojivé výsledky aerace tam, kde jiné škodliviny převažují nad teplem. Avšak i tam, kde nadměrné teplo je sice hlavní škodlivinou, ale výroba je provázena vznikem plynů, kouře a prachu, může za určitých klimatických podmínek dojít k nežádoucímu zhoršení pracovního prostředí. Dále nesmíme zapomínat, že proudění vzduchu ve větracích otvorech neovládáme při aeraci tak dokonale jako při větrání nuceném. Při aeraci se nejen mění rychlosť ve větracích otvorech, ale často i směry proudění vzduchu. Je to způsobeno změnami klimatickými, změnami tepelného zatížení a někdy dokonce i změnami polohy zdrojů tepla (např. slévárny). Jak zdánlivě překvapující situace proudění ve světlíkových otvorech může vzniknout, ukazuje obr. 1, v němž je naznačen půdorys velké slévárny oceli. V celé sestavě polí,



Obr. 1. Půdorys ocelárny a slévárny oceli
(M — Martinské pece, E — elektropece,
 I — ingotové pole, F — formovny).

na sebe navazujících, fungovaly střešní světlíky jako odváděcí otvory pouze nad vyloženě horkými poli, jak je naznačeno na obrázku šípkami, zatím co nad chladnějšími poli, která zaujmala větší část půdorysné plochy, proudil světlíky vzduch dovnitř. Je pochopitelné, že nepočítá-li projektant s tímto způsobem přívodu vzduchu a nenavrhne oddělení horních prostorů lodí, resp. nucený přívod vzduchu do dolního pásmá, nedosáhne dobrých výsledků, neboť pracovní oblast zůstává nedokonale větrána.

Těchto několik praktických připomínek nemá odradit od používání aerace, ale naopak má upozornit, že i aerace, ač není strojním zařízením, má své problémy, k jejichž úspěšnému řešení je třeba dobrých teoretických i praktických znalostí. Dále je nutno si uvědomit, že i při větrání aerací platí zásada místního zachycení a odvedení škodlivin od větších zdrojů (např. některé pece), a to tím spíše, že aerace může vykazovat výkyvy ve vyměňovaném množství vzduchu. Aby tudíž nedošlo k neúspěchům aeračních zařízení, je nutné vždy již při projektování rozvážit, které zdroje a jakých škodlivin lze aerací postihnout a které nikoliv.

Základním úkolem při návrhu aerace je stanovení potřebného vyměňovaného množství vzduchu, na jehož základě se pak počítají velikosti větracích otvorů. Žádnou z těchto hodnot nelze volit. Danou veličinou pro výpočet je vždy tepelná zátěž provozovny a z té vycházíme při výpočtu váhového množství vzduchu podle rovnice

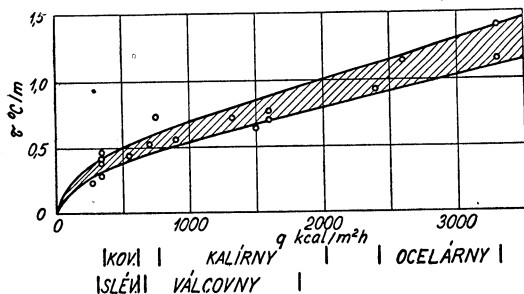
$$G = \frac{Q}{0,24 \cdot (t_o - t_z)} \text{ [kcal/h]}, \quad (1)$$

v níž se vyskytuje teplota odváděného vzduchu t_o , která se musí stanovit. Jedním ze způsobů jejího určení je metoda gradientová. Volba teplotního gradientu nemůže však být náhodná, jak jsme upozornili již v roce 1954 v naší práci s inž. Maurerem [1], [2], kdy jsme udali také první hodnoty teplotních gradientů na základě četných provozních měření. Je pochopitelné, že aplikace hodnot zjištěných v jednom provozu na druhý provoz stejného druhu je vždy jen přibližná, ale tato přibližnost není na závadu právě u aerace, jejíž provoz je tak ovlivňován nepostihnutelnými změnami vnějších podmínek. Naproti tomu zjištění teplotních gradientů pro vyhovující hygienické podmínky přímo ve skutečných provozech a jejich srovnání s tepelnými zátěžemi a s výměnami vzduchu dává projekční podklad skutečným poměrům bližší, nežli může být přenášení výsledků zkoušek na zidealizovaných modelech na skutečné provozy. Ideálním podkladem by byly hodnoty získané na geometricky podobných modelech, zjištované pro každý závažný projektovaný případ zvlášť [3], [4].

Tato cesta je prozatím těžko realisovatelná a projektanti vzduchotechniky hutních závodů jsou proto odkázáni na gradientovou metodu, která je jednoduchá a umožňuje rychlé dosažení výsledků. Je proto pochopitelné, že projektanti žádají pro uvedenou metodu výpočtové podklady, které třeba stále doplňovat a zpřesňovat. Proto jsme zpracovali větší počet měření, které jsme měli k disposici, a přepracovali a doplnili původní tabulkou doporučených hodnot teplotních gradientů. Tím jsme získali *tabulku I*, v níž jsou uváděna určitá rozmezí hodnot, která dovolují přizpůsobit volbu teplotního gradientu tepelnému zatížení provozovny, které v různých závodech může být značně proměnné (např. kalírny). Rozdílnost teplotních gradientů různých provozoven vede k myšlence, že může existovat závislost velikosti teplotního gradientu na měrném tepelném zatížení provozovny. Protože kapacita výroby je v určitém vztahu k půdorysné ploše provozovny, kdežto výšky hal mohou být při téže výrobě značně rozdílné, považujeme za účelné vztahovat tepelné zatížení na jednotku půdorysné plochy, místo na jednotku objemu. Tím dostaneme hodnotu

$$q = \frac{Q}{F} \text{ [kcal/m}^2\text{h]}. \quad (2)$$

Vyneseme-li hodnoty teplotních gradientů τ v závislosti na měrném tepelném zatížení q nedostaneme však plynulou křivku, neboť nelze předpokládat, že by dva různé provozy, s rozdílným charakterem zdrojů tepla, avšak stejným měrným tepelným zatížením měly stejné teplotní gradienty. Vynesené hodnoty gradientů pro určitou výšku haly vykazují rozptyl, v němž lze vymezit pásmo, které udává přibližnou závislost τ na q . Tímto způsobem jsme postupovali pro výšku provozoven $H = 15$ m a příslušná závislost je nakreslena na obr. 2. Na vodorovné ose diagramu je vyneseno měrné tepelné zatížení q a na svislé ose teplotní gradient τ . Pod vodorovnou osou jsou dále vynesena pásma měrného tepelného zatížení provozoven,



Obr. 2. Závislost teplotního gradientu τ na měrném zatížení q .

v nichž byly teplotní gradienty stanovovány. Tento diagram nemá sloužit k mechanickému odečítání hodnot τ podle zatížení q , ale má vést k dalšímu zpřesnění volby teplotního gradientu podle tab. I.

Tabulka I.

Provozovna	Teplotní gradient při výšce haly [m]						
	10	15	20	25	30	35	40
Ocelárný – sáz. ploš.	1,7 – 2,2	1,1 – 1,4	0,85 – 1,1	0,65 – 0,85	0,55 – 0,7	0,45 – 0,55	0,4 – 0,5
Ocelárný – licí a ingot. pole	0,9 – 1,2	0,6 – 0,8	0,45 – 0,6	0,35 – 0,45	0,30 – 0,4	0,25 – 0,35	0,2 – 0,25
Aglomerace	1,7 – 2,2	1,1 – 1,4	0,85 – 1,1	0,65 – 0,85	0,55 – 0,7	0,45 – 0,55	0,4 – 0,5
Válcovny	0,8 – 1,2	0,5 – 0,75	0,4 – 0,6	0,3 – 0,45	0,25 – 0,36	0,2 – 0,3	0,18 – 0,27
Slévárný oceli – tavírny	0,7 – 0,8	0,45 – 0,5	0,35 – 0,4	0,25 – 0,3	0,2 – 0,25	0,18 – 0,2	0,16 – 0,18
Slévárný – licí pole	0,3 – 0,4	0,2 – 0,25	0,16 – 0,2	0,12 – 0,15	0,1 – 0,13	0,09 – 0,11	0,08 – 0,1
Kalírny	0,9 – 1,2	0,6 – 0,8	0,45 – 0,6	0,35 – 0,45	0,3 – 0,4	0,25 – 0,35	0,2 – 0,25
Kovárny	0,65 – 0,8	0,4 – 0,5	0,3 – 0,4	0,25 – 0,3	0,2 – 0,25	0,16 – 0,2	0,14 – 0,18

Závěrem třeba poznamenat, že oprávněnost používání gradientové metody zanikne, jakmile bude možné zavést jiný způsob výpočtu, např. na základě výsledků zkoušek na modelech. Protože tomu tak dosud není, nutno i nadále počítat s používáním gradientové metody, jejímuž doplnění má sloužit tento článek.

Literatura

- [1] Maurer K., Oppl L.: Příspěvek k výpočtu aerace horkých provozů. Hutnické listy č. 12, str. 737—743, sv. IX, 1954.
- [2] Oppl L.: Větrání velkých průmyslových provozoven. Sborník VIII. sjezdu hygieniků, Bratislava 1955.
- [3] Baturin V. V., Elterman V. M.: Aeracija promyšlennych zdanij. Moskva 1953.
- [4] Cihelka J.: Zvýšení teploty vzduchu v pracovní oblasti prostorů větranych aerací. Sborník VTS-ZTV při ČSAV, Praha 1958.

ТЕМПЕРАТУРНЫЕ ГРАДИЕНТЫ В УСЛОВИЯХ ГОРЯЧЕГО ПРОИЗВОДСТВА

Инж. д-р Ладислав Оппель

Статья содержит более полные величины температурных градиентов для расчета аэрации в условиях горячих производств. Далее в статье дается зависимость величины зоны температурных градиентов от удельного теплового напряжения горячих цехов и приводятся некоторые указания для проектирования.

GRADIENTS DE LA TEMPÉRATURE DANS LES ATELIERS CHAUDS

Ing. Dr Ladislav Oppl

L'œuvre contient des valeurs supplémentaires des gradients de la température pour le calcul de l'aération des ateliers chauds. Ensuite l'article indique la dépendance de la zone de gradients de la température de la charge calorique relative des ateliers chauds et on donne aussi quelques directives sur la construction.

662 . 614 . 4

1 . 05

**POZNÁMKY K VÝJIMCE Z NORMY ČSN 06 0210
PRO VÝPOČET TEPELNÝCH ZTRÁT BUDOV**

Inž. dr. JAROMÍR CIHELKA

Ústav pro výzkum strojů ČSAV, Praha

V článku jsou uvedeny důvody, které vedly k povolení výjimky č. 59—37 z normy ČSN 06 0210 a je vysvětleno, jak má být výjimky používáno v praxi.

Lektoroval: Inž. dr. M. Lázňovský

Když byla v roce 1949 poprvé vydána naše norma pro výpočet tepelných ztrát budov při ústředním vytápění (ČSN 1450—1949), znamenalo to tehdy bezesporu značný pokrok ve vytápěcí technice, neboť se tím odstranila dřívější libovůle při určování tepelných výkonů navrhovaných zařízení. Normou ČSN 1450—1949 se zavedl jednotný způsob výpočtu tepelných ztrát, stanovila se nejnižší venkovní teplota (tzv. oblastní teplota), při níž má navrhované vytápěcí zařízení ještě splnit svoji funkci (tj. zajistit určitou vnitřní teplotu ve vytápěných místnostech), určil se jednotný způsob připočítávání přirážek k základní tepelné ztrátě (přirážky na zátop, na vítr a na nepříznivou světovou stranu) atd. Dále byly v normě uvedeny hodnoty součinitelů prostupu tepla pro nejčastěji užívané druhy stěn.

Jmenovaná naše norma — podobně jako tehdejší zahraniční normy a předpisy pro výpočet tepelných ztrát budov — počítala především s tradičním stavebním provedením budov z masivního cihelného zdíva a s lokální výrobou tepla v domovních kotelnách. Protože se provoz v těchto domovních kotelnách v noci přeruší, předepisuje jmenovaná norma připočítávat poměrně značně velké přirážky na zátop k základní tepelné ztrátě.

Při novém vydání normy v r. 1955 nebyly provedeny žádné závažnější změny, pouze bylo připojeno několik drobných doplňků. Norma byla označena novým číslem — ČSN 06 0210.

Pokud byla norma používána převážně jen pro druhy staveb a způsoby zásobování teplem, s nimiž bylo při jejím vzniku počítáno (masivní cihelné stavby zásobované teplem z domovních kotelen) — celkem vyhovovala. Jisté předimensování otopných zařízení, k němuž i v těchto případech docházelo, nebylo z celkového národochospodářského hlediska příliš významné, neboť počet domů s ústředním vytápěním byl — a dosud stále ještě je — poměrně malý (v současné době je u nás pouze asi 7 % bytových jednotek vybaveno ústředním vytápěním). Zvětšení výkonu otopného zařízení bylo jakýmsi zabezpečením, že zařízení bude plnit svoji funkci i v případech, když se výkon kotlů zmenší vinou stále se zhoršující jakosti dodávaného paliva.

Zkušenosti s vytápěním v nových velkých sídlištích, zásobovaných teplem z výtopen nebo tepláren, však ukazují, že výpočet tepelných ztrát podle normy ČSN 06 0210 vede při tomto způsobu zásobování teplem ke zbytečnému předimensování vytápěcích zařízení. Zjišťuje se, že ani při nejnižších venkovních teplotách není výkon zdrojů tepla plně využit, a že k vytápění místností na požadovanou vnitřní teplotu (např. 20 °C) není nikdy třeba dosáhnout nejvyšší střední teploty otopné vody, s níž se při návrhu počítalo (např. 80 °C).

Předimensování vytápěcích zařízení (zdrojů tepla i otopných těles) znamená zbytečné plýtvání cenným materiálem a je také nepřímou přičinou častého přetápení místností (tj. plýtvání palivem).

K předimensování vytápěcích zařízení při výpočtu podle ČSN 06 0210 dochází především z těchto příčin:*)

1. Hodnoty součinitelů prostupu tepla k , uváděné v normě, jsou většinou příliš velké; počítá se s menším tepelným odporem stěn, než jaký je ve skutečnosti. Na příklad pro cihelnou zed, tlustou 50 cm, je v normě uváděna hodnota $k = 1,2 \text{ kcal}/\text{m}^2\text{h}^\circ\text{C}$ (tepelná vodivost $\lambda = 0,75 \text{ kcal/m h}^\circ\text{C}$), zatímco ve skutečnosti je v tomto případě $k = 0,85$ až $1,0 \text{ kcal/m}^2\text{h}^\circ\text{C}$ ($\lambda = 0,5$ až $0,6$). V normě se počítá s tepelným odporem nového, ještě dokonale nevyschlého zdíva. Během prvního otopného období však obvykle zdivo vyschne a má pak větší tepelný odpor.

2. Nejnižší venkovní teploty, pro které se počítá výkon vytápěcích zařízení, trvají jen velmi krátkou část roku (jen několik málo dní).**) Po větší část otopného období není tedy vytápěcí zařízení plně využito.

3. K základní tepelné ztrátě se podle normy připočítávají přirážky, kterými se respektuje vliv různých nepříznivých činitelů (přirážka na vítr, na nepříznivou světovou stranu a na zátop) tak, jako by všechny nepříznivé vlivy působily současně. Ve skutečnosti však tomu tak není a scítání všech přirážek vede tedy také k předimensování zařízení.

4. Největší přičinou předimensování vytápěcích zařízení při dálkovém vytápění je nadměrná přirážka na zátop, kterou norma předepisuje (20 až 50 %). Je-li tato přirážka do jisté míry odůvodněna při zásobování teplem z domovních nebo blokových kotelen, kde je nutno i ve velmi chladných dnech počítat s přerušováním provozu v noci, je zcela zbytečná při dálkovém vytápění z výtopen nebo tepláren, kde lze v chladných dnech (např. při teplotách nižších než -5°C) velmi snadno zajistit nepřerušované vytápění po celý den (24 hodin). Při výpočtu vytápění pak není nutno počítat s přirážkou na zátop. Spotřeba tepla se tímto opatřením zvětší jen velmi nepatrнě, neboť počet dní, kdy je průměrná venkovní teplota nižší než -5°C , je velmi malý (12 až 18 dní).

Nedostatky uvedené v bodech 1 až 4 a dále některé další okolnosti (např. nutnost doplnit normu kapitolou o výpočtu tepelných ztrát velkých místností a kapitolou o výpočtu tepelných ztrát větráním) vyvolávají potřebu revize normy ČSN 06 0210. Změnu normy bude ovšem možno provést až po důkladném rozboru jednotlivých otázek a je proto správné, že Státní úřad pro vynálezy a normalisaci plánuje vypracování návrhu na úpravu normy na r. 1959 a 1960 a nová norma má platit od 1. I. 1962.

Aby bylo možno již před vydáním upravené normy alespoň z části odstranit příčiny předimensování při navrhování vytápěcích zařízení v nově budovaných sídliš-

*) Ke stejným příčinám předimensování vytápěcích zařízení docházejí také cizí autoři při kritice německé normy DIN 4701.

**) V některých letech se tak nízké teploty, s jakými se počítá v normě ČSN 06 0210 vůbec nevyskytují.

tich, byla urychleně vypracována a vyhlášena výjimka z dosavadní normy ČSN 06 0210.*) Výjimka, která byla povolena na žádost Státního výboru pro výstavbu byla vypracována subkomisí pro vytápění při energetické komisi ČSAV a bylo přitom přihlédnuto ke zlepšovacímu návrhu inž. Mottla**) a k připomínkám předních našich vytápěcích techniků. Podle vyhlášené výjimky se opravným součinitelem 0,9, po případě 0,8 zmenšuje celková tepelná ztráta vypočítaná podle dosavadní normy; tímto zmenšením se přihlídí ke všem vpředu jmenovaným příčinám předimensování. Výjimka se vztahuje pouze na typované obytné budovy a rozlišuje vytápěcí zařízení s domovními a blokovými kotelnami a zařízení s centrálními zdroji tepla.

Uvádíme úplné znění výjimky:

Článek 7 ČSN 06 0210

Tato výjimka platí pro bytové stavby typů G 40, G 57, TO 2B, TO 3B, T 13 a T 16

- a) *U bytových staveb s teplovodním vytápěním, zásobovaných teplem z domovní nebo blokové kotlinky, kde doba plného vytápění je kratší než 14 hodin denně — viz tab. I způsob vytápění II, ČSN 06 0210 — se pro výpočet otopních ploch tepelné ztráty vypočtené podle rovnice č. 3 jmenované normy snižují o 10 %.*
Takto redukovaná hodnota tepelných ztrát se nevztahuje na výpočet tepelného zdroje a rozvodné sítě.
- b) *U bytových staveb zásobovaných teplem z výtopen nebo tepláren se pro výpočet otopného zařízení (tepelních zdrojů, rozvodů a otopních ploch) tepelné ztráty vypočtené podle rovnice č. 3 jmenované normy snižují:*
 - ba) v případech, kde se počítá se způsobem vytápění I podle tab. I jmenované normy o 10 %,*
 - bb) v případech, kde se počítá se způsobem vytápění II podle tab. I jmenované normy o 20 %.*

Hodnoty tepelných ztrát redukované podle odstavce ba) a bb) se vztahují na vodní i parní vytápění.

Při návrhu vytápěcích zařízení se bude napříště postupovat tak, že se dosavadním způsobem (podle normy ČSN 06 0210) vypočítá základní tepelná ztráta místo Q_m a připočítáním jednotlivých přírůšek (opět bez změny) se určí celková tepelná ztráta Q_p (viz rovnice 3 jmenované normy). Potom se podle výjimky tato celková ztráta Q_p zmenší (redukuje) tím, že se násobí součinitelem 0,9, popřípadě 0,8. U vytápěcích zařízení s domovními nebo blokovými kotelnami se vypočtená hodnota Q_p zmenší o 10 % (násobí se součinitelem 0,9) jen pro výpočet otopních ploch (těles). Pro výpočet ostatních částí zařízení (zdroj tepla a rozvod) se celková tepelná ztráta vypočítaná podle ČSN 06 0210 nezmění. Při dálkovém vytápění (případ b) se pak k dalšímu výpočtu celého vytápěcího zařízení (tj. otopních ploch, rozvodů a zdrojů tepla) použije zmenšené hodnoty Q_p .

V případě a) (domovní nebo blokové kotlinky) je tedy ve výkonu zdrojů jistá rezerva, která umožňuje případné zvýšení střední teploty otopné vody z dosud užívané hodnoty 80 °C na 85 °C (např. místo teplotního rozdílu 92,5/67,5 °C se použije rozdílu 97,5/72,5 °C). Bod a) výjimky platí pouze pro teplovodní vytápění.

*) Vypracováním návrhu na úpravu normy byl pověřen Ústav pro výzkum strojů ČSAV.

**) Inž. Mottl navrhuje, aby se maximální střední teploty otopné vody 80 °C dosáhlo již při venkovní teplotě o 5 °C vyšší než jsou oblastní teploty uvedené v normě ČSN 06 0210 a aby se dostatečný tepelný výkon zajistil zvýšením střední teploty vody na 85 °C. Tím se zmenší plocha otopních těles o 12 až 14 %.

Při dálkovém vytápění (viz bod b) postihuje výjimka především přirážku na zátop, kterou zmenšuje přibližně na 8 až 10 %. Naprosto to však neznamená, že se tím vylučuje možnost účelně přerušovat vytápění a tím také šetřit teplem po převážnou část otopného období. Pouze při nižších venkovních teplotách (např. nižších než -5°C), kdy již nebude ve výkonu zdrojů tepla dostatečná rezerva pro zátop, bude nutno vytápet nepřetržitě (24 hodin), nebo po určitou část dne vytápet pouze tlumeně tak, aby vnitřní teplota neklesla o více než 2 až 3 $^{\circ}\text{C}$.

Zajistit nepřetržité vytápění v chladných dnech při dálkovém vytápění je poměrně velmi snadné, neboť jde jen o několik málo dní v roce (v průměrné zimě o 10 až 15 dní).

Při zmenšení tepelných ztrát podle výjimky z normy ČSN 06 0210 však již není možné v plné míře využívat možnosti, kterou nabízí čl. 36 normy ČSN 38 3350 „Zásobování teplem“, kde se doporučuje „uvážit možnost zmenšení tepelného příkonu zdrojů tepla na 70 až 80 % požadované hodnoty“ (tj. hodnoty, která vznikla součtem tepelných ztrát jednotlivých budov). Dále zmenšovat tepelný výkon zdrojů tepla při dálkovém vytápění je možné jen s ohledem na nesoučasnost provozu vytápěcích zařízení. Tato nesoučasnost musí být prokázána zvláštní studií.

Doufáme, že výjimka z normy ČSN 06 0210 splní svůj účel a že v době před vydáním nové upravené normy zabrání zbytečnému předimensování vytápěcích zařízení, zejména při dálkovém vytápění. Snaha, aby se zásady vyjádřené ve výjimce v plné míře uplatnily již při plánované bytové výstavbě do r. 1970, byla největší pobídka při jejím urychleném vydání.

662 . 614 . 4

1 . 05

POZNÁMKA K ZÁTOPOVÝM PŘIRÁŽKÁM

Inž. JAROSLAV ŘEHÁNEK

Výzkumný ústav stavební výroby, Praha

V článku jsou uvedeny venkovní teploty vzduchu, do kterých je možno přerušovat vytápění v obytných budovách s otopným zařízením dimenovaným bez zátopových přirážek.

Lektoroval: inž. dr. J. Cihelka

Dimenování otopných zařízení se provádí na základě tepelných ztrát budov, vypočtených pro teploty venkovního vzduchu -15°C , -18°C a -21°C . Při přerušovaném způsobu vytápění se zvětšuje příkon otopného zařízení, mimo jiné, o zátopovou přirážku.

Zátopové přirážky, jak je známo, slouží k tomu, aby bylo v určité krátké době (zátopové době) po uvedení otopného zařízení do provozu dosaženo požadovaných teplotních poměrů v místnosti (v budově). To znamená, že zátopové přirážky při přerušovaném způsobu vytápění jsou nezbytné, má-li být otopné zařízení účelné. Na druhé straně však, vzhledem k poměrně malému počtu otopních dnů s nižšími venkovními teplotami vzduchu, je roční průměrné využití otopného zařízení velmi malé. Zátopové přirážky toto využití ještě zmenšují. Z toho je zřejmo, že v otopném zařízení jsou rezervy tím větší, cím je vyšší venkovní teplota vzduchu, a že toto zařízení je zcela využito pouze při výše uvedených teplotách venkovního vzduchu.

Jestliže jsou tedy v otopném zařízení rezervy, znamená to, že po určitou část otopného období je možno využít těchto rezerv k dosažení požadovaných teplotních poměrů v místnosti v zátopové době i otopným zařízením, jehož výkon nebude zvětšen o zátopovou přirážku.

V případě, že by tedy bylo navrženo otopné zařízení bez zátopové přirážky, neznamená to ještě, že by se celé otopné období vytápělo nepřerušovaně. Vytápění by se mohlo přerušovat až do určité průměrné venkovní teploty vzduchu, přičemž tato hodnota je závislá na délce otopních přestávek. Čím kratší budou požadované otopné přestávky, tím větší počet otopních dnů může být přerušováno vytápění a naopak.

Níže jsou vypočteny teploty venkovního vzduchu, při kterých je ještě možná uvedená doba přerušení vytápění. Výpočet je proveden pro místnost rozměrů $(5 \times 4 \times 3)$ m, přičemž se předpokládají tepelné ztráty dvěma obvodovými stěnami a stropem. Strop a podlaha je uvažována ze železobetonu, podlaha s parketami.

Dále se uvažují dvě velikosti oken:

1. okno o ploše $3,8 \text{ m}^2$ a o součiniteli prostupu tepla $k_o = 3 \text{ kcal/m}^2\text{h}^{\circ}\text{C}$,
2. celá jedna obvodová stěna skleněná o ploše 15 m^2 a součiniteli prostupu tepla $k_o = 6,3 \text{ kcal/m}^2\text{h}^{\circ}\text{C}$.

Obvodové a vnitřní stěny jsou z tohoto materiálu:

1. z cihelného zdiva ($\gamma = 1800 \text{ kg/m}^3$),
2. ze škvárobetonového (struskobetonového apod.) zdiva ($\gamma = 1500 \text{ kg/m}^3$),
3. z plynobetonového (pěnobezenového apod.) zdiva ($\gamma = 800 \text{ kg/m}^3$),
4. z isolačního zdiva ($\gamma = 300 \text{ kg/m}^3$).

Celkem bylo tedy propočteno osm případů, přičemž případy I.—IV. mají průměrnou tepelnou ztrátu místnosti $K_c = 0,6 \text{ kcal/m}^2\text{h}^\circ\text{C}$ (místnosti s oknem) a případy V.—VIII. mají $K_c = 1,4 \text{ kcal/m}^2\text{h}^\circ\text{C}$ (místnosti se skleněnou stěnou). Výpočet je proveden pro všechny tři teplotní oblasti a dobu přerušení vytápění 4 hod., 8 hod. a 12 hod. (tabulka I, II a III).

Tabulka I. Průměrná denní venkovní teplota vzduchu, do které je možno přerušovat vytápění 12 hod.

	Typ místnosti	Teplotní oblast		
		-15°C	-18°C	-21°C
$K_c = 0,6$	I	+3,6	+2,2	+0,9
	II	+3,9	+2,5	+1,2
	III	+4,3	+2,9	+1,6
	IV	+4,4	+3,0	+1,8
$K_c = 1,4$	V	+1,3	-0,3	-2,0
	VI	+1,4	-0,2	-1,9
	VII	+1,4	-0,2	-1,9
	VIII	+1,4	-0,2	-1,9

Tabulka II. Průměrná denní venkovní teplota vzduchu, do které je možno přerušovat vytápění 8 hod.

	Typ místnosti	Teplotní oblast		
		-15°C	-18°C	-21°C
$K_c = 0,6$	I	-0,5	-2,3	-4,0
	II	-0,2	-2,0	-3,4
	III	+0,4	-1,3	-2,9
	IV	+0,8	-0,8	-2,4
$K_c = 1,4$	V	-1,8	-3,8	-5,7
	VI	-1,6	-3,4	-5,4
	VII	-1,3	-3,2	-5,0
	VIII	-1,1	-3,0	-4,8

Tabulka III. Průměrná denní venkovní teplota vzduchu, do které je možno přerušovat vytápění 4 hod.

	Typ místnosti	Teplotní oblast		
		-15°C	-18°C	-21°C
$K_c = 0,6$	I	-5,9	-8,2	-10,2
	II	-5,4	-7,6	-9,7
	III	-4,8	-6,9	-8,9
	IV	-4,2	-6,3	-8,2
$K_c = 1,4$	V	-6,3	-8,6	-11,0
	VI	-5,9	-8,3	-10,5
	VII	-5,6	-7,9	-10,1
	VIII	-5,2	-7,4	-9,6

Tabulka IV. Přibližné průměrné denní venkovní teploty vzduchu, do kterých je možná uvedená doba přerušení vytápění.

	Doba přerušení vytápění v hodinách	Teplotní oblast		
		-15°C	-18°C	-21°C
12	$K_c = 0,6$	+4,0	+3,0	+ 1,0
	$K_c = 1,4$	+1,0	±0,0	- 2,0
8	$K_c = 0,6$	±0,0	-2,0	- 3,0
	$K_c = 1,4$	-1,0	-3,0	- 5,0
4	$K_c = 0,6$	-5,0	-7,0	- 9,0
	$K_c = 1,4$	-6,0	-8,0	-10,0

V tabulce IV. jsou uvedeny přibližné průměrné denní teploty venkovního vzduchu, do kterých je možno přerušovat vytápění, pouze v závislosti na hodnotě K_c .

Otopné období v Praze trvá přibližně 220 dnů. Z křivky trvání teplot a z tabulky IV pak vyplývá, že je možno přerušovat vytápění následující počet dnů v závislosti na délce otopné přestávky:

Otopná přestávka 12 hod. a déle	105 dnů
Otopná přestávka (8—12) hod.	50 dnů
Otopná přestávka (4—8) hod.	35 dnů
Celkem	190 dnů

To znamená, že pouze asi 30 dnů by bylo nutno vytápět nepřetržitě, protože v tomto období už není v otopném zařízení taková rezerva, která by umožňovala dosáhnout v zátopové době požadovaných teplotních poměrů.

Na závěr je nutno poznamenat, že konečné slovo o tom, zda je výhodné či nevýhodné dimensovat otopná zařízení bez zátopových přírážek by měla dát ekonomická rozvaha, tj. porovnání úspor získaných zmenšením pořizovacích nákladů na otopné zařízení a zvětšení nákladů spojených s nepřerušovaným vytápěním v uvedeném počtu dnů.

Poznámka redakce: Jak již bylo dříve oznámeno (viz ZTV, roč. 1959, č. 2), připravuje se v současné době návrh na revizi normy ČSN 06 0210 o výpočtu tepelných ztrát budov. Komise pro vypracování návrhu na úpravu jmenované normy vyzývá všechny vytápěcí techniky, aby se zúčastnili diskuse o otázkách výpočtu tepelných ztrát budov a tím přispěli k úspěšnému vyřešení úkolu. Významné diskusní příspěvky budou uveřejňovány v tomto časopise.

● **Koupelnový ohříváč vody vytápěný topným olejem** byl zkonstruován pro upovětí nad vanu na zed. Blíže ke zdi je umístěn plochý zásobník na 8,5 l oleje, před ním je osazen vlastní ohříváč vody s průtokovým systémem ohřevu. Základní rozměry celého přístroje: výška asi 90 cm, šířka asi 30 cm, hloubka asi 45 cm. Informativní technická data: topná plocha asi 1 m², výkon ohříváče 350—250 kcal/min (tj. za 1 minutu ohřeje 10 l vody o 25° při spotřebě 40 cm³ oleje). Zásobník připraví svým obsahem asi 12 koupelí (při spotřebě 700 cm³ na jednu lázeň). (Sanit. Techn. 5/58) (Cha)

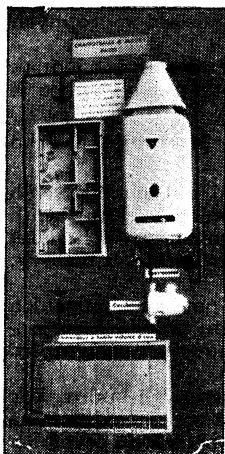
● **Dělící příčka do koupacích van** umožní dosáhnout nejjednodušším způsobem značné úspory vody. Při máčení, praní nebo máchání prádla v jedné vaně s dělícími příčkami lze práť a máčet současně různé skupiny prádla (bílé-barevné, více i méně zašpiněné, vlnu-bavlnu aj.). Při koupání nebo mytí lze dělící příčkou upravit normální vanu na vanu krátkou, sedací nebo dětskou (až na výšku osazení) nebo i na vaničku na nohy. Dělící příčky vyrábí fa K. Engelhard (Bremen) v rozměrech pro běžně užívané typy van. (Sanit. Techn. 12/58) (Cha)

● **Nový způsob destilace mořské vody.** Profesor californské university Dr. Leray A. Bromley vynalezl nový způsob, kterým lze destilovat mořskou vodu v rozsáhlém měřítku. Třebaže jeho nové zařízení je zatím ve stadiu laboratorních zkoušek, předpokládá se, že skutečné zařízení bude mít kapacitu až 450.000—900.000 l za den.

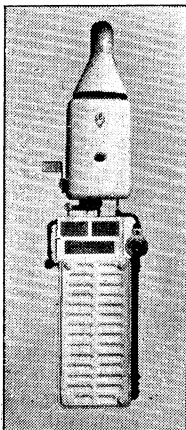
V podstatě se jedná o mnohonásobně účinný odstředivý odpařovač. Skládá se z většího počtu plochých misek, namontovaných do věnce na lopatkách turbín. Mořská voda určená k destilaci je přiváděna z nádrže umístěné nad destilačním zařízením. Spodem pod misky je přiváděna pára. Teplo z páry způsobuje, že se voda z misek poměrně rychle odparí a zkondensuje jako čerstvá voda. Tato pak odteká do sběrné jímky. Sůl, která zůstane na spodu misek, je odstraňována automatickými sberači. Účinnost odpařovače je zvýšena tím, že pára roztáčí turbínu a tím i odpařovací misky. Působením odstředivé síly se odpařovaná voda v miskách rozlije do tenké vrstvy, která se snadněji odparí. V jednom věnci bude umístěno 12—50 odpařovacích misek a každá destilační jednotka bude mít několik věnců s odpařovacími miskami. Celé zařízení má 3 m v průměru a je přibližně 3,6 m vysoké. Dr. Bromley propočítal, že náklad na předdestilování 4.500 l vody bude asi 0,25—0,5 dolaru. (Podle Compressed Air) (Dr. Št.)

NOVÝ SMĚR VE VYTÁPĚNÍ SÍDLIŠT?

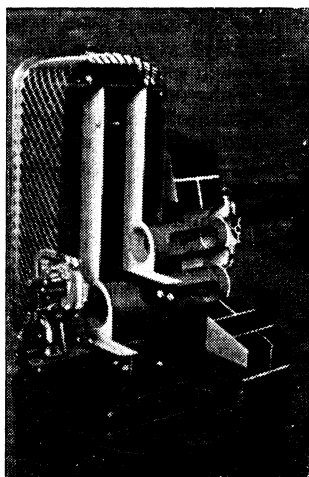
Na Světové výstavě v Bruselu bylo vystaveno velké množství zdrojů tepla pro etážové vytápění. Na rozdíl od dosud vyráběných malých kotlů na uhlí, byly nové konstrukce zdrojů tepla upraveny pro spalování plynných paliv. Jedním druhem byly býle smaltované kotle, velikosti plynových sporáků. Dodavatelem těchto kotlů je západoněmecká firma ERKA (Rohleder Kesselschmiede GMBH) ze Stuttgartu, která vyrábí typy Owed 10, 15, 20 s výkony 10.000 kcal/h, 15.000 kcal/h a 20.000 kcal/h. Systém vytápění, kde se používá těchto zdrojů tepla, je zcela stejný, jako při použití kotlů na tuhá paliva. Oběh vody je samočinný.



Obr. 1. Zdroj pro etážové vytápění — průtokový ohřívač. Otopná plocha — konvektor.



Obr. 2. Zdroj tepla pro etážové vytápění — průtokový ohřívač. Otopná plocha — radiátor.



Obr. 3. Plynový radiátor (řez) s přívodem spalovacího vzduchu zvenčí a odvodem spalin mimo vytápěnou místnost.

Se zcela odlišným řešením přišly některé francouzské firmy. Konstrukce zdrojů je velmi podobná průtokovým ohřívačům vody (obr. 1). Cirkulace otopné vody se provádí pomocí malého čerpadla. Samotní provoz, vzhledem k výše zavěšení ohřívače, nelze zajistit. Regulace teploty otopného média je automatická. Jako otopných těles se používají konvektoru (obr. 1) i radiátorů (obr. 2). Na obou obrázcích je znázorněno vždy připojení pouze jednoho tělesa.

Kromě centrálních zdrojů tepla pro celé bytové jednotky byly na výstavě ukázány i samostatné plynové radiátory, které se však lišily od dosud vyráběných typů tím, že vzduch potřebný pro spalování je přiváděn zvenčí (obr. 3). Odvod spalin je proveden rovněž mimo vytápěnou místnost. Regulace teploty v místnosti se provádí automaticky.

Vzhledem k tomu, že v příští pětiletce se má provádět na některých místech republiky plynofikace ve větším rozsahu, stalo by za úvahu zabývat se i u nás obdobným řešením vytápění jak stávajících, tak i nových sídlíšt. Výhodou tohoto způsobu je bezesporu ta skutečnost, že odběr plynu je prováděn pouze v nejnutnějším případě, neboť se účtuje podle skutečné spotřeby jednoho bytu.

Kotrbatý

POZNÁMKY K ČLÁNKU „BOJ PROTI PŘETÁPĚNÍ MÍSTNOSTÍ“

(dopis čtenáře)

Příčiny přetápění místností, které byly uvedeny v článku uveřejněném ve 4. čísle ročníku 1958 tohoto časopisu, se plně shodují se zkušenostmi získanými v praxi při montáži a údržbě zařízení pro ústřední vytápění. Špatná obsluha zařízení bývá také často zaviněna stálým měněním obsluhujícího personálu, v mnohých případech je nový topič úplný laik, nedostatečně zavěcený do obsluhy zařízení a nemající ani zdání o zásadách správného vytápění, o spalování a o funkci zařízení. Většina obsluhovatelů teplovodních vytápěcích systémů nezná také závislost mezi teplotou otopné vody a venkovní teplotou.

Přetápění se často vyskytuje u budov připojených na dálkový rozvod tepla (páry) a je způsobeno:

- a) U budov s parní otopnou soustavou — špatným nastavením redukčního ventilu, tj. napájením systému parou o vyšším (často několikanásobném) tlaku, než jak bylo navrženo. Tento nešvar se vyskytuje zejména u starších budov, které původně měly vlastní kotelnu a na dálkový rozvod byly připojeny až dodatečně. Zbytečné zvýšení tlaku páry způsobuje ještě další ztráty, a to únikem páry do zpětného kondensačního potrubí, když zvýšeným tlakem je vytlačena voda ze smyček a pára nestací v otopných tělesech zkondensovat.
- b) U teplovodních soustav s protiproudovým ohříváčem je přetápění způsobováno jednak nedostatečnou obsluhou, jednak chybnou funkcí regulátoru teploty (pokud vůbec je tento regulátor instalován).

Další skupinu tvoří případy, kde je přetápění zaviněno chybou při projektu nebo montáži:

- a) Na otopném systému byly provedeny změny (rozšíření, přidání dalších otopních těles atp.), kterými bylo způsobeno přetížení některých potrubních úseků. Mají-li být tyto části budov dostatečně vytápěny, je obsluha nutena použít vyšších tlaků páry nebo vyšších teplot vody a tím nastane přetápění v ostatních částech budovy, kde je zařízení správně dimenováno.
- b) Po skončení montáže nebylo provedeno seřízení otopné soustavy pomocí regulačních ventilů, přestože projektant s tímto seřízením počítal. Výsledkem pak je nestejnoměrné vytápění jednotlivých místností, stálé námítky proti nevyhovujícímu vytápění a konečně přinucení obsluhy k použití vyšších tlaků a teplot.
- c) Chyby v projektu nebo montáži se občas vyskytují i u nově postavených budov, kde některé úseky potrubí mají nedostatečnou cirkulaci. Této chybě se pak odpomáhá zvyšováním teploty otopné vody, nebo dodatečným zařazením oběhového čerpadla. Správný je návrh seznámit nejvíce veřejnost se zásadami vytápění a použít, že je vhodnější bojovat proti hrozícímu přetápění přívíráním nebo úplným uzavřením ventilu na otopném tělese, než otvíráním oken.

Skutečně ideálním řešením by bylo používání měřičů spotřeby tepla pro každého spotřebitele. Měříče však musí být spolehlivé, laciné a použitelné i u starších otopních zařízení.

Šembera

KOMBINACE ELEKTRICKÉHO A TEPOVODNÍHO TĚLESA

Podle *The Heating Engineer and Journal of Air Conditioning*, 1957, prosinec, str. 303–304.

V nedávné době vyvinula firma Gulf Radiators Ltd. kombinaci elektrického otopného tělesa naplněného olejem s teplovodním tělesem.

Základní tepelný výkon kryje teplovodní těleso a jen v době vyššího zatížení v zimě je v činnosti také elektrická část kombinovaného tělesa. Na jaře a na podzim, v době, kdy jsou tepelné ztráty místnosti tak malé, že se nevyplatí uvádět do chodu ústřední vytápění, přitápí se pouze elektricky. Také lze pomocí těchto kombinovaných těles zvýšit výkon stávajícího teplovodního zařízení.

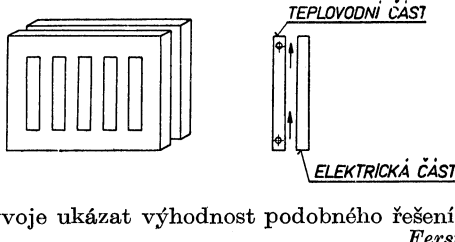
Elektrickou část tělesa vytváří panelové těleso naplněné olejem a regulované dvoupolohovým elektrickým regulátorem. Topná elektrická tělesa se dodávají o výkonu 0,5 až 2 kW podle velikosti tělesa.

Teplovodní část kombinovaného tělesa tvoří zadní část panelové stěny. Mezi oběma částmi je mezera široká cca 30 mm. Teplovodní těleso je připojeno normálním způsobem k systému ústředního vytápění. Celou jednotku lze snadno umístit na zed a tím lze docílit hygienicky nezávadné a vzhledně instalace.

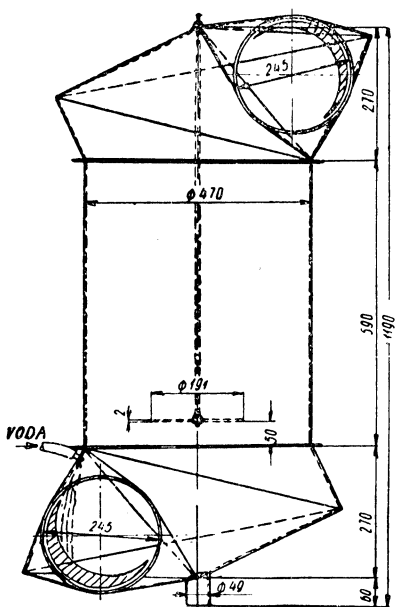
Tělesa se vyrábějí v různých délkách od 600 do 750 mm. Schéma kombinovaného otopného tělesa je na obr. 1.

Zdá se, že při dnešní snaze o úsporu ušlechtilé elektrické energie by se podobná tělesa u nás neuplatnila, přestože lze jimi docílit značné úspory na investičních nákladech (menší kotel, levnější rozvody atd.). Je však pravděpodobné, že postupně při stále stoupající výrobě elektřiny z méně hodnotných paliv, vodní a Jaderné energie, bude cena elektrického proudu klesat. Uhlí se bude stále více stávat důležitou chemickou výchozí surovinou a proto i u nás se může během vývoje ukázat výhodnost podobného řešení.

Ferst



MOKRÝ CYKLON O MALÝCH ROZMĚRECH



Obr. 1. Mokrý cyklon malého objemu.

V mnoha provozech (aglomerace, drtírny, sušárny prašných materiálů) vzniká prach s vodní párou nebo vlhký prach. Aby se neupávalo potrubí, je třeba odloučit tento prach hned za sacími zákruty. Odlučovače musí mít vysokou odlučivost, minimální rozměry, umožňovat kondensaci par, musí být jednoduché a mít malou spotřebu vody. Popisovaný cyklon (obr. 1) má smáčené stěny a prach se zachycuje ve vodní vrstvě vytvořené na stěnách a kromě toho se zkrápi kapičkami, které se proudícím vzduchem strhávají se stěn. Voda v cyklonu samovolně recirkuluje, což umožňuje menší spotřebu vody než u jiných mokrých odlučovačů. Cyklon dosahuje dobré odlučivosti (úlet 3–3,5krát menší než u cyklonu s vodní clonou) a malého odporu (při stejně odlučivosti odporn 1,5krát menší). Cyklon byl proměřen při rychlostech 12, 15, 18 m/s, přičemž nejvyšší odlučivosti bylo dosaženo při rychlosti 15 m/s, a to 96,6 %. Spotřeba vody při tom činila 0,122 kg/kg vzduchu a tlaková ztráta byla 60 mm v. s. Při měření bylo použito vysoko dispersního kaolinového prachu o počáteční koncentraci 2000 mg/m³.

Oppel

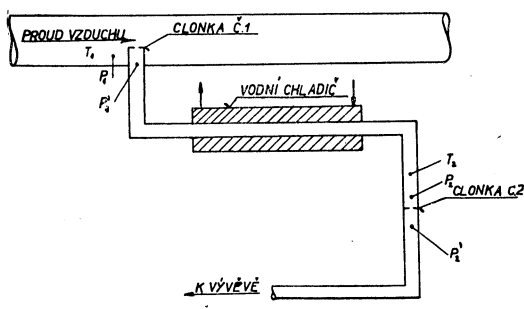
A. M. Gervas'ev: Malogabaritnyj ciklon — promyvatel. Promyšlennaja ventilacija. Sborník prací Metallurgizdat, Sverdlovsk 1957.

PNEUMATICKÝ TEPLOMĚR A VLHKOMĚR

V článku uveřejněném v časopise „Chem. Eng. Progress“ (č. 8, 1957) se setkáváme se zajímavým řešením problému měření teploty vzduchu dosahující hodnoty až několika tisíc stupňů, kdy ostatní prostředky jsou již nespolehlivé. K měření je využito změny objemu vzduchu s teplotou. Vzduch je odsáván z potrubí přes clonku, která měří jeho množství (M_1) při původní teplotě. Po průchodu chladičem je opět jeho množství (M_2) měřeno clonkou a teplota (T_2) termoelektrickým článkem. Z rovnice platících pro měření clonkami a z naměřené teploty se pak vypočte původní teplota (T_1). Schéma takového zařízení je naznačeno na obr. 1.

Dále se článek zabývá využitím podobného principu pro měření vlhkosti vzduchu, v kterém je voda obsažena jak v podobě par, tak i v drobných kapičkách. Zařízení sestává

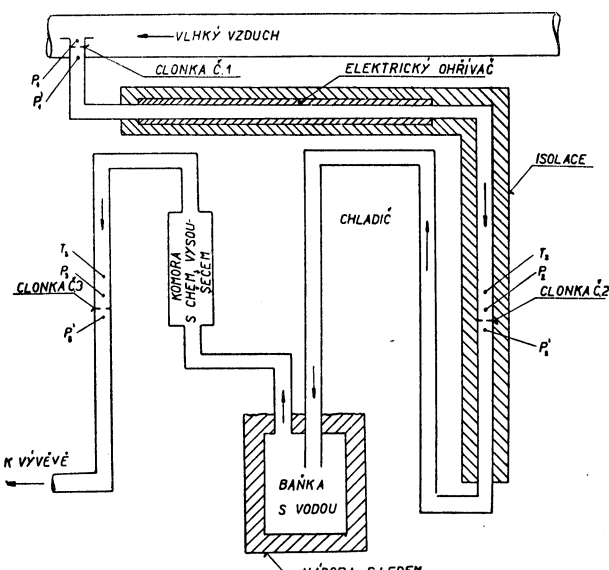
ze soustavy tří clonk, elektrického ohříváče, chladiče a vysoušeče vzduchu. První clonku je měřeno množství (M_1) vzduchu s vodními kapičkami, druhou pak již množství (M_2)



Obr. 1. Pneumatický teploměr.

vzduchu zvětšené o páry vzniklé odpařením kapiček v elektrickém ohříváci. Množství (M_3) suchého vzduchu je měřeno clonkou třetí. U druhé a třetí clonky je měřena teplota procházejícího vzduchu (T_2 , T_3) termoelektrickým článekem. Z naměřených hodnot je pak možno sestavit rovnici pro určení vlhkosti. Blokové schéma tohoto zařízení na obr. 2.

Přesnost obou zařízení závisí na přesnosti výroby clonk a odčítání tlaků na clonkách. Chyby v odčítání nemají být větší než $\pm 1\%$. Křízek



Obr. 2. Pneumatický vlhkoměr.

VYSOUŠENÍ SOLÍ V POLOPROVOZNÍ FLUIDIZAČNÍ SUŠÁRNĚ

Ju. A. Kaganovič publikoval [1] výsledky sušicích zkoušek různých materiálů, provedených v poloprovozní fluidizační sušárně (obr. 1).

Komora sušárny 1 je svařena z ocelových plechů, má vnější průměr asi 700 mm a výšku 2500 mm. Komora je vyložena šamotem, takže její volný průřez je asi 350 mm. Fluidizační přepážka 2 je ze žáruvzdorné oceli s otvory o průměru 4 mm.

Vlhký materiál se do sušárny dopravuje z násypky 3 komůrkovým podavačem 4. Ze sušárny vystupuje rourou 5 s hradítkem, která je umístěna na úrovni fluidizační přepážky. Sušicí vzduch postupuje clonou 6 do spalovací komory 7, v níž je katalyticky spalován petrolej, přiváděný se spalovacím vzduchem hořákem 8. Spalinu se vedou do dolní části komory, prostupují přepážkou a vysoušenou vrstvou materiálu. Ulet je zachycován v odstředivém odlučovači 9, napojeném na sací stranu dmychadla. Provoz sušárny se sleduje měřením teploty sušicího prostředí před přepážkou a ve výstupní části komory a zjišťováním rozdílu tlaku před a za vrstvou. Při spouštění sušárny obstarává tah pomocný komín 10.

Při zkouškách byl vysoušen chlorid draselný o počáteční vlhkosti 8—9 %, síran drasel-ný po filtraci ($u_1 = 19 \%$), dále mirabilit ($u_1 = 54 \%$), dekahydrt sody ($u_1 = 62 \%$) a přírodní síran draselny ($u_1 = 24—28 \%$).

Při střední rychlosti proudění 0,5—0,8 m/s a vstupní sušící teplotě 300 °C bylo usušeno 2 t/m² h; odpovídavost dosáhla 300—400 kg/m³ h. Měrný výkon vztažený na plochu fluidizační přepážky 250 kg/m² h.

Sušení dekahydru a mirabilitu probíhalo bez usazování jemných podílů na stěnách komory. Při sušící teplotě 750—800 °C, která značně přesahuje teplotu tání solí, bylo dosaženo konečné vlhkosti 0,05 %. Teplota vrstvy o výšce 700—750 mm se pohybovala mezi 150—250 °C i při vstupní teplotě 950 °C. Celková tepelná účinnost dosáhla přibližně 75 %. Při vysoušení se aglomerovaly některé frakce a vytvářely hrudky o průměru 5—7 mm; jejich podíl činil asi 3 %.

Pro bezporuchový provoz je nutné udržovat konstantní výšku vrstvy, která musí být stanovena pro každý materiál experimentálně.

Fluidizačním sušením bylo u uvedených materiálů dosaženo 7—10krát vyššího výkonu než při sušení v bubnové sušárně, a to i u těch materiálů, které se v bubnových sušárnách zpracovávají velmi obtížně. Vyšším využitím tepelné energie dosáhlo se též podstatného snížení celkové spotřeby tepla. Fluidizační sušení solí vyžaduje však regulaci zavážení a odvodu materiálu, stoupá u něho i úlet a vyskytuje se značné eroze vnitřních stěn komory.

Tůma

[1] Chimičeskaja nauka i promyšlennost č. 6, 1957, str. 764—766.

ZINTENSIVNĚNÍ SUŠICÍHO POCHODU PŘI VÝROBĚ FOTOGRAFICKÝCH MATERIÁLŮ

F. A. Rozental' publikoval výsledky sušicích zkoušek, provedených s fotografickými a filmovými materiály ve Vědeckovo-výzkumném ústavu pro kinematografiu a fotografii (NIKFI). Jednotlivé materiály byly vysoušeny v tryskové komoře, vybavené pomocným infraohříváčem (obr. 1). Sušící prostředí bylo klimatisováno a jeho parametry byly automaticky regulařovány.

Citlivé materiály lze při vysoušení rozdělit do dvou skupin:

- a) materiály běžné o malé tloušťce emulze,
- b) materiály zvláštní o větší tloušťce emulze (400—600 μ v usušeném stavu).

V prvním případě jde o vysoušení materiálů s velkým povrchem a zanedbatelnou tloušťkou. U těchto materiálů je možno zanedbat jejich odpor proti pohybu vlhkosti. Vysoušení lze pak zintenzivnit zmenšením odporu mezní vrstvy proudění a zvýšením napětí vodních par na povrchu materiálu.

Při vysoušení emulze filmu bylo experimentálně potvrzeno, že rychlosť sušení roste se zvětšující se rychlosťí proudění a s rostoucí teplotou sušicího prostředí, a dále použitím kombinovaného (konvekčního a sálového) ohřevu.

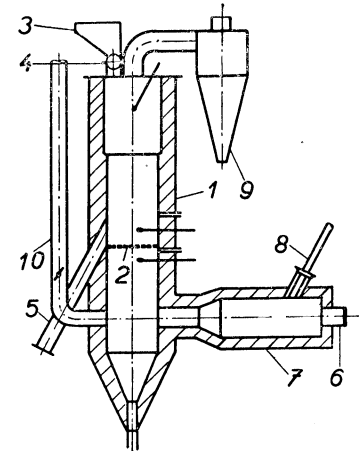
Při konvekčním ohřevu byla pro přestup tepla získána závislost

$$Nu = 0,0892 Re^{0,806} Pr^{0,33}, \quad (1)$$

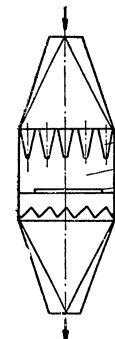
Obr. 1. 1 — sušící komora, 2 — vzorek materiálu, 3 — rozváděcí trysky, 4 — infraohříváč.

která při kombinovaném ohřevu nabyla tvaru

$$Nu = 0,0433 Re^{0,806} Pr^{0,33} \left(\frac{T_s}{T_L} \right)^{2,73}, \quad (2)$$



Obr. 1. Fluidizační sušárna.



kde T_s [$^{\circ}$ K] je teplota sálajícího povrchu a T_L [$^{\circ}$ K] teplota sušicího vzduchu. Na obr. 2 je vynesen průběh sušení filmu při konvekčním ohřevu a při ohřevu kombinovaném.

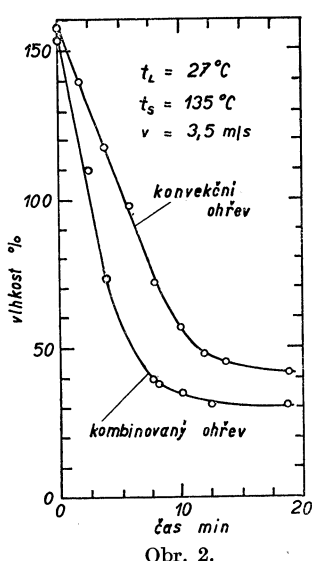
V druhém případě, při vysoušení materiálů s velkou tloušťkou emulze, nelze zanedbat vliv odporu vrstvy proti pohybu vlhkosti. Hlavním problémem intensifikace procesu bude proto zvýšení vodivosti vlhkosti materiálu, a to ve smyslu vztahu

$$i = k\gamma_s \nabla u \pm k\gamma_s \delta \nabla t \quad [\text{kg}/\text{m}^2\text{h}], \quad (3)$$

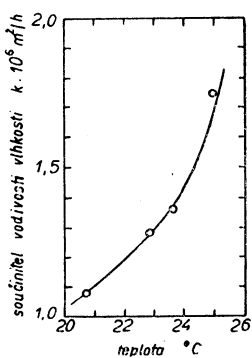
kde i [$\text{kg}/\text{m}^2\text{h}$] je množství pohybující se vlhkosti, k [m^2/h] součinitel vodivosti vlhkosti vlivem vlhkostního rozdílu, γ_s [kg/m^3] měrná váha sušiny, δ [$1/{^{\circ}\text{C}}$] součinitel vodivosti vlhkosti vlivem teplotního spádu, ∇u [kg/kgm] gradient vlhkosti a ∇t [$^{\circ}\text{C}/\text{m}$] gradient teploty.

Hodnoty součinitelů vodivosti vlhkosti emulzí byly určovány novou (v originále blíže nepopsanou) metodou. Na obr. 3 je uvedena závislost součinitelů k na teplotě, na obr. 4 na absolutní vlhkost materiálu. Z průběhu grafu na obr. 3 je patrné, že součinitel k roste s teplotou. Použitím dodačného sálavého ohřevu zvýší se nejen hodnota součinitelů k , nýbrž se docílí i souhlasného toku tepla i vlhkosti (viz rovnici 3). Proto byl navržen kombinovaný ohřev těchto materiálů při sušení; pro zachování kontinuity toku vlhkosti bylo nutno zvýšit relativní vlhkost sušicího prostředí.

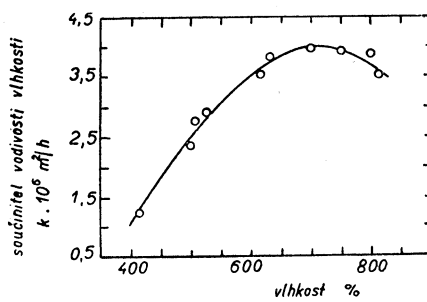
V závěru článku autor uvádí, že možnost zvýšení intenzity vysoušení fotografických materiálů je nutno sledovat případ od případu. Po určení vlastností vrstvy je pak možno urychlit sušení zvýšením intenzity přestupu tepla a hmoty, nebo volit takové parametry ohřevu, při nichž je dosaženo větších hodnot vodivosti vlhkosti. Túma



Obr. 2.



Obr. 3.



Obr. 4.

Chimičeskaja nauka i promyšlennost, č. 3, 1958, str. 654—657.

VÝZKUM AEROSOLŮ V SOVĚTSKÉM SVAZU

Základní výzkum aerosolů v Sovětském svazu má dlouholetou tradici. Již v r. 1882 publikoval akademik V. Srezněvskij zákon o vypařování aerosolových kapiček. Hlavní rozvoj teoretický i experimentální v oboru aerosolů nastal až v letech třicátých tohoto století, kdy profesor Nikolaj Albertovič Fuks a profesor Ivan Vasiljevič Petranov uveřejnili své práce o měření elektrických nábojů aerosolů a o vlivu tohoto náboje na mechaniku aerosolového mraku. Oba pracovníci pracovali v té době v Karpovově ústavu fyzikální chemie v Moskvě. Jen o několik let později založili pracovní skupinu pro základní výzkum aerosolů v Ústavu fyzikální chemie AV SSSR Fuksovi žáci B. V. Derjagin a P. S. Prochorov.

Po druhé světové válce nastal rychlý rozvoj výzkumu aerosolů v obou fyzikálně-chemických ústavech. Profesor N. A. Fuks sice odešel z Karpovova ústavu do Ústavu vědeckých informací AV SSSR, kde se stal redaktorem časopisu Referativníj žurnal pro chimii,

ale aerosolům zůstal vřen dále. Jeho nové působiště mu umožňuje seznamovat se s veškerou světovou literaturou o aerosolech a pracovat teoreticky. V současné době je profesor Fuks uznáván za nejlepšího teoretika v oboru aerosolů v SSSR. Jeho kniha „Mechanika aerozolej“ Nakladatelství AV SSSR, Moskva 1955, je první teoretickou učebnicí o aerosolech na světě. Sám obor mechaniky aerosolů byl zaveden Fuksem, jako obor sledující zákony dynamiky aerosolového mraku. Též jeho nová teoretická monografie „Isparenie i rost kapelek v gazoobraznoj sredě“ je novým přínosem v teorii kapalných aerosolů. V současné době pracuje profesor Fuks i experimentálně, aby vyplnil mezery, které jsou dosud v teorii termoforezy aerosolů.

Prvý Fuksův žák a spolupracovník profesor I. V. Petrjanov pracuje dále v Karpovově ústavu a vede laboratoř pro výzkum aerosolů a filtrace vzduchu. Petrjanov se svými spolupracovníky vypracovali metodu výroby vláknitých filtrů z velmi jemných vláken dielektrického charakteru. Z těchto vláken jsou pak speciálním způsobem zhotoveny filtrační vrstvy o síle 1–2 mm. Tyto filtry, nazývané „filtry podle Petrjanova“, jsou zatím nejideálnějšími filtry k zachycování velmi jemných aerosolů vůbec. Filtry jsou hustým tkanivem, zhotoveným z vláken o průměru 1–6 μ. Vlákna jsou vyráběna z umělých i přirozených hmot s vysokou dielektrickou konstantou (např. z acetylcelulosy, polystyrenu, perchlорvinilu atp.). Chemické složení vláken a jejich tloušťka, jakož i síla a hustota filtrační tkaniny ovlivňují pak celkovou účinnost výsledného filtru a udávají také možnosti jeho použití (některé filtry jsou hygroskopické, jiné nehygroskopické, některé lze použít samotné, jiné jen s předfiltry atp.). Filtrační účinnost, zjištovaná optickými metodami (nefelometricky), je 99,99–99,999 % a filtrační odpor je minimální. Těchto filtrů se již asi tři roky používá v praxi (v Jaderném průmyslu, v hutích na barevné kovy, ve zdravotnictví pro sterilisaci vzduchu, v protiaerosolových respirátorech atd.).

Skupinu pro výzkum aerosolů v Ústavu fyzikální chemie AV SSSR vede doktor chemických věd P. Š. Prochorov. Skupina pracuje v laboratoři dispersních systémů, kterou vede člen-korespondent AV SSSR B. V. Derjagin. Pracovní skupina Prochorova se v současné době zabývá třemi obory výzkumu aerosolů: meteorologickými zjevy vzniku, růstu a koagulace kapalných aerosolů, problémem smáčitelnosti aerosolů tuhých a konečně analytickými metodami k sledování koncentrace a dispersity aerosolů. Prochorov a vědecký pracovník L. F. Leonov se již od r. 1952 zabývají experimentálně i teoreticky procesy koagulace a růstu aerosolových častic u kapalných aerosolů, jakož i měřením vzájemného působení povrchových sil mezi kapkami.

Pracovní kolektiv, zabývající se analytickými metodami k sledování koncentrace a dispersity aerosolů, vede vědecký pracovník G. Ja. Vlasenko. Tento kolektiv pracuje již 5 let na metodách průtokové ultramikroskopie. Spolu s B. V. Derjaginem sestrojili přístroj, přenosný průtokový ultramikroskop, kterým se provádějí měření jak v laboratoři, tak i v terénu.

Světovému významu jsou pak teoretické práce B. V. Derjagina a jeho žáků o povaze a roli povrchových sil v kinetice dispersních systémů. Tyto práce byly publikovány v letech 1956–1957 v Dokladech AV SSSR.

V oboru biologického působení aerosolů, hlavně průmyslového prachu, pracuje doktorka lékařských věd E. V. Chuchrina se svým kolektivem v Ústavu hygieny práce a chorob z povolání ALV SSSR. Tato pracovní skupina přinesla cenné poznatky o mechanismu vzniku silikosy. Aplikovaným výzkumem aerosolů se zabývá celá řada pracovišť a výzkumných ústavů. Pracuje se v oboru použití aerosolů k léčení, v zemědělství a meteorologii, hledají se i způsoby boje proti aerosolům toxicickým, průmyslovým, biologickým a radioaktivním.

Spurný

PŘÍSTROJE K MĚŘENÍ PRAŠNOSTI ZALOŽENÉ NA MĚŘENÍ ZTRÁTY TLAKU FILTRU

Podle A. P. Avy, M. Raillere: Sborník Quatrième colloque sur les poussières

Některé přístroje pro měření prašnosti jsou založeny na stanovování neprůsvitnosti nebo vzrůstu hydraulického odporu filtračního papíru s odebraným prašným vzorkem. Vzrůst odporu může být vztažen k počtu, povrchu nebo váze častic prachu. Přístroje byly zkoušeny v různých průmyslových oborech a ukázalo se, že pro stejně množství prachu jsou tlakové ztráty velmi proměnné podle druhu prachu. Pro kouř jsou značně větší než pro hrubý prach. Cejchuje-li se přístroj pro určitý prach, dává dobré výsledky a hodí se pro sledování časových změn prašnosti. Některé z těchto přístrojů budou vyroběny v malé sérii.

Oppl

MĚŘENÍ RADIOAKTIVNÍHO SPADU

Podle W. Gerlach, K. Stierstadt a J. Zeising: Atomenergie 2 (1957), 11/12

Práce přináší souhrn výsledků měření radioaktivního spadu v prvním pololetí 1957 v okolí Mnichova. Běžně byly určovány tyto hodnoty:

1. Počáteční hodnoty aktivity na litr dešťové nebo sněhové vody.
2. Počáteční aktivity srážek (spadu) na 1 m^2 povrchu země.
3. Měsíční střední hodnoty aktivity na litr a na 1 m^2 a počáteční aktivity na 1 g sedimentu ve srážkách.
4. Aktivita celková na 1 m^2 plochy země (plocha jednoho sběrače).
5. Časový úbytek aktivity jednotlivých spadů (t^{-1} křivky) k určení vztahu mezi datem spadu a explose atomové bomby.

Kromě vyhodnocování aktivity spadu se od počátku roku 1957 měří též aktivita vzduchu filtrování metodou podle O. Haxela. Vzduch je prosáván papírovým filtrem se skleněnými vlákny o ploše 32 cm^2 průměrnou rychlosťí $10,9 \text{ m}^3/\text{h}$. Po 24 hodinách se filtr vymění, spálí a změří se β -aktivita radia $B + C$, thoria B a dlouhodobých štěpných produktů v popelu. Všechny jsou udávány v $10^{-12} \text{ Curie}/\text{m}^3$.

Casový úbytek aktivity vzorku zřetelně udává tři složky s jejich rozličnými poločasy: radiové 30 minut, thoriové 10–12 hodin a nejkrátkodobější štěpné produkty bomby 15–50 dnů.

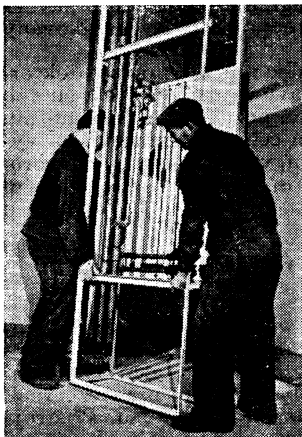
Křivky t^{-1} aktivity bomby určují dobu explose v úplné shodě s křivkami pořízenými ze spadu. Mezi koncentrací aktinických štěpných produktů (v aerosolu) ve vzduchu a ve spadu (ve srážkách) není však systematický vztah.

Polydorová

INSTRUKTAŽNÍ FILM „BYTOVÉ JÁDRO B-2“

V roce 1956 byl Čsl. státním filmem natočen instruktážní film „*Prefabrikace zdravotních instalací a ústředního vytápění*“, který se zabýval problematikou průmyslové výroby uvedených oborů přidružené stavebné výroby.

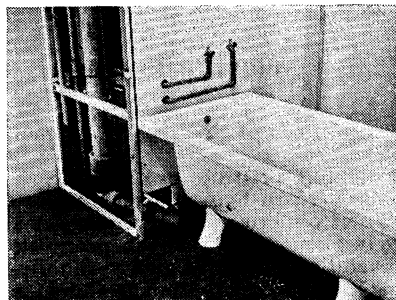
Podobný cíl sleduje i další instruktážní film „*Bytové jádro B-2*“, který rovněž financovalo ministerstvo stavebnictví. Film byl dokončen v prosinci 1958. Natáčel jej Propag-film v režii s. Kouby. Tento 16ti mm film je černobilý, zvukový a byl natočen za spolu-práce Výzkumného ústavu stavební výroby a Pozemních staveb n. p. Praha. Obrazem i slovem popisuje vyskladnění, dopravu, rozbalování a montáž bytového jádra B-2, jehož hlavním výrobcem je Kovona n. p. Karviná. S bytovým jádrem se počítá v r. 1959 ve 20 000 bytových jednotkách a je proto nutné, aby všechny zájmové složky byly o něm dobře informovány. Ukázky z filmu „*Bytové jádro B-2*“ jsou na obr. 1 a 2.



Obr. 1. Doprava instalací šachty bytového jádra nad prostupní otvor.

Film je možno si vypůjčit v Krajském filmovém podniku, půjčovna filmu (v příslušném kraji). Půjčovné je Kčs 3,— za 1 den. Kopii tohoto filmu, jehož promítání trvá asi 14 min., lze si koupit podle předběžných údajů asi za Kčs 170,—. Objednávku nutno zaslat na adresu Čsl. státní film, prodejna filmů, Praha-Nové Město, Na příkopě č. 24.

Najman



Obr. 2. Instalace plechové vany.

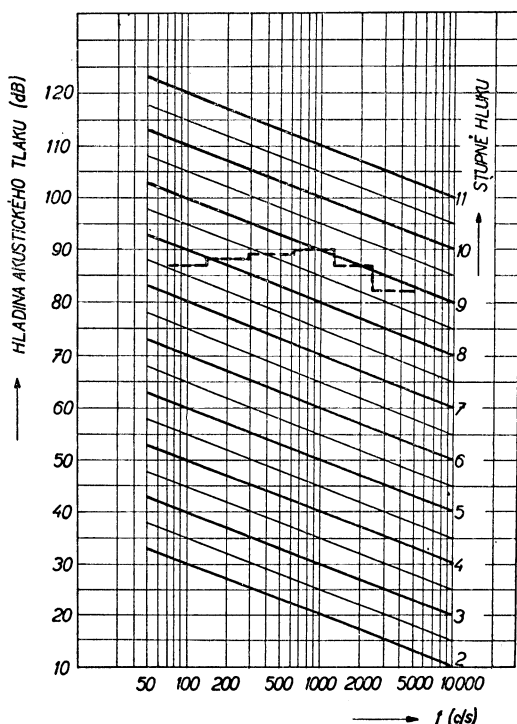
NOVÝ NÁVRH NA SMĚRNICE PŘÍPUSTNÉHO HLUKU ELEKTRICKÝCH STROJŮ V NSR

V článku prof. E. Lübeckeho „Zur Geräuschmessung“ v časopise Frequenz (B. 12, č. 7, 1958) je vypracován a zdůvodněn návrh pro klasifikaci měřeného hluku stroje. Na obrázku je znázorněn diagram, s jehož pomocí se klasifikace provádí. Diagram má frekvenční rozsah $50 \div 10\,000$ Hz a stupnice akustického tlaku je vynesena na pořadnici až do hodnoty 120 dB. Stupně hluku jsou znázorněny rovnoběžkami se sklonem 3 dB/okt. směrem k vyšším frekvencím. Jejich číslování je odvozeno ze stupnice vzniklé řezem decibelové síť pořadnicí při kmitočtu 1000 Hz. Z toho důvodu označuje autor jednotlivé stupně jako ekvivalentní Bely.

Tyto přímky mají tvořit přípustné hranice v NSR pro jednotlivé druhy strojů. Vyneseme-li do této sítě okta-vové spektrum hluku proměřovaného stroje, je hluk charakterisován tím stupněm, který se jeví jako tečna k obrysům spektra. V obrázku je znázorněn příklad pro stupeň č. 9. V budoucnu má být na základě statistických měření stanoveno, které stupně by měly tvořit přípustnou hranici pro různé typy elektrických strojů. Při tom je dnes známo, že je-li překročen asi stupeň 9,5, jedná se již o hluk nepřípustný pro fysiologické účinky na sluch při dlouhodobém působení.

Při měření pásmovým filtrem o šířce pásma 1/3 oktávy je nutno, za předpokladu spojitého charakteru spektra měřeného hluku vynášet spektrum o 5 dB (přesně o 4,8 dB) výše, nebo posunout síť stupňů hluku o 5 dB níže.

V článku je rovněž popisován způsob adaptace zvukoměru, po jejímž provedení by bylo možné jediným přístrojem přímo určovat stupeň hluku měřeného stroje. Jsou zde uvedena i kritéria, uváděná jinými autory (Slavin, Bolt-Beranek-Newman, Kryter, Cremor aj.) a jsou srovnána s navrženou metodou. Článek je pro přehled všech používaných způsobů hodnocení změřeného hluku velmi zajímavý. *Ransdorf*



Obr. 1. Diagram ke stanovení přípustnosti hluku elektrických strojů.

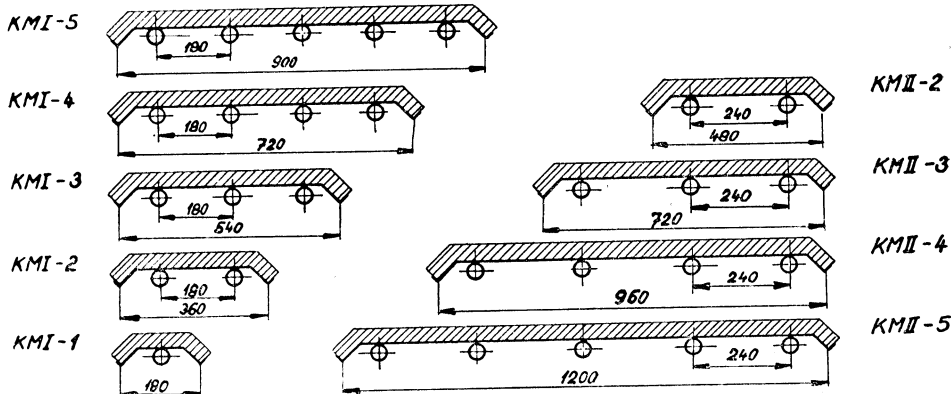
- **Týdenní spotřeba teplé vody** pro běžné mytí rukou ve velké administrativní budově činila u žen 135 l, u mužů 60 l vody. Spotřebu lze snížit až na 1/2 původně zjištěných hodnoty instalováním ventilů, které vodu rozprašují (sprchování rukou, perlátory). (Sanit. Techn. 5/58) (Cha)

PŘEDBĚŽNÝ NÁVRH NA TYPISACI ZAVĚŠENÝCH SÁLAVÝCH PANELŮ

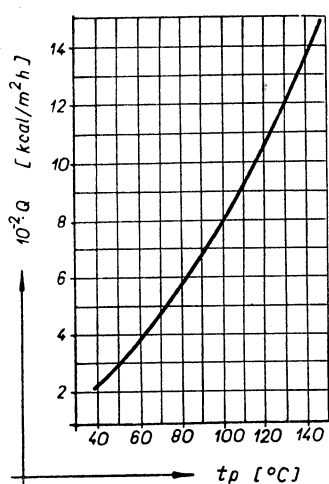
Aby bylo možno ve větším rozsahu používat pro vytápění průmyslových provozoven zavěšených sálavých panelů, bylo na aktivu pořádaném odbornou skupinou pro vytápění při VTS pro zdravotní techniku a vzduchotechniku o tomto novém způsobu vytápění usneseno, vypracovat předběžnou typisaci otopné plochy.

Původní typ u nás použitých zavěšených panelů byl řešen tak, že se podélné pásy stavovaly z jednotlivých samostatných částí (max. délka jedné části byla 10 m). Tento způsob konstrukce panelů měl několik nedostatků (velká váha, obtížná montáž, vysoká cena). Proto byla vypracována nová konstrukce, při níž byly sledovány tyto cíle:

- zmenšit váhu panelu,
- zmenšit investiční náklady na otopnou plochu, rozvody a armaturu tak, aby sálavé vytápění mohlo i v pořizovacích nákladech konkurovat teplovzdušnému vytápění,
- zjednodušit a zlevnit montáž zařízení.



Obr. 1. Výpočtové hodnoty (rozměry) sálavých tepelných pásů typ KM I a KM II.



Obr. 2. Diagram měrného příkonu tepla v závislosti na střední povrchové teplotě panelu t_p .

Aby bylo možno vyhovět těmto požadavkům, bylo upuštěno od původní rámové konstrukce panelů a byla navržena samonosná konstrukce s použitím většího průměru otopných trubek. Místo dříve používaných průměrů $1/2''$ a $3/4''$ byl zvolen jednotný průměr $1''$. Otopné trubky tvoří nosnou konstrukci. Rovněž tak i tloušťka plechu byla zvolena jednotná — 1 mm. Horní strana panelů je isolována skelnou vlnou; tloušťka isolace je 4 cm, kromě typu s jedinou otopnou trubkou, kde je tloušťka 3 cm. Tepelná vodivost isolace je $\lambda = 0,04$ [$\text{kcal}/\text{mh}^{\circ}\text{C}$]. Plechy panelů se pokládají na nosnou konstrukci vytvořenou z otopných trubek a tvoří souvislý pás, který se pak při montáži pokryje na horní straně vrstvou isolace. Konstrukce je universální a je jí možno použít jak pro vytápění horkou vodou, tak i parou. Vzhledem k výrobnímu programu plechů byly navrženy dvě řady sálavých pásů typu KM I a KM II. Oba typy se od sebe liší roztečí otopných trubek. Sálavé pásky typu KM I jsou konstruovány z ocelového plechu tlustého 1 mm a je použito trubek o průměru $1''$. Rozteč trubek je 180 mm a jejich počet je — podle šířky pásů 1 až 5. Tepelné pásky řady KM II jsou také z ocelového plechu tlustého 1 mm a průměr trubek je rovněž $1''$; rozteč trubek však je 240 mm a jejich počet je —

Na obr. 1 jsou znázorněny všechny typy sálavých pásů s hlavními (výpočtovými) rozměry.

V tabulce I jsou uvedeny teploty média a střední teploty panelů pro sálavé pásy typu KM I, v tabulce II pak pro sálavé pásy typu KM II. Výpočet středních teplot byl proveden podle Kalousových rovnic. Při výpočtu bylo počítáno s předpokladem, že teplota stěn = teplota vzduchu ($t_s = t_v$). V diagramu na obr. 2 je znázorněna závislost měrného tepelného výkonu panelů na střední povrchové teplotě.

Tabulka I. Povrchové teploty panelu — platí pro KM I.

Otopné médium — voda			Otopné médium — pára						
teplotní rozdíl Δt [°C]	střední teplota vody [°C]	střední teplota panelu [°C] při teplotě vzduchu v místnosti			tlak [atp]	střední teplota páry [°C]	střední teplota panelu [°C] při teplotě vzduchu v místnosti		
		8°C	10°C	12°C			8°C	10°C	12°C
90/70	80	60	60,5	61	0,1	100	75	75,5	76
100/70	85	64	64,5	65	0,5	105	78	78,5	79
110/70	90	67	67,5	68	1	115	85	85,5	86
120/70	95	71	71,5	72	2	130	95,5	96	96,5
130/70	100	75	76,5	76	3	140	102,5	103	103,5
130/80	105	78	78,5	79	4	150	110,5	111	111,5
140/80	110	81,5	82	82,5	5	155	114	114,5	115
140/100	120	88,5	89	89,5	6	160	117,5	118	118,5
150/100	125	92	92,5	93	7	165	121,5	122	122,5
160/100	130	95,5	96	96,5	8	170	124,5	125	125,5

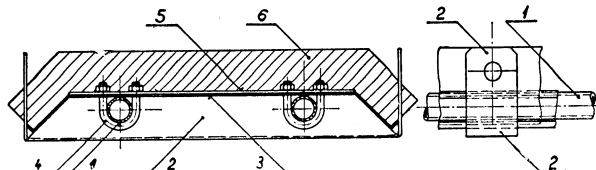
Tabulka II. Povrchové teploty panelu — platí pro KM II.

Otopné médium — voda			Otopné médium — pára						
teplotní rozdíl Δt [°C]	střední teplota vody [°C]	střední teplota panelu [°C] při teplotě vzduchu v místnosti			tlak [atp]	střední teplota páry [°C]	střední teplota panelu [°C] při teplotě vzduchu v místnosti		
		8°C	10°C	12°C			8°C	10°C	12°C
90/70	80	50,5	51,5	52,5	0,1	100	62,5	63,5	64,5
100/70	85	53,5	54,5	55,5	0,5	105	65,5	66,5	67,5
110/70	90	56,5	57,5	58,5	1	115	71,5	72,5	73,5
120/70	95	59,5	60,5	61,5	2	130	80,5	81,5	82,5
130/70	100	62,5	63,5	64,5	3	140	86,5	87,5	88,5
130/80	105	65,5	66,5	67,5	4	150	92	93	94
140/80	110	68,5	69,5	70,5	5	155	95	96	97
140/100	120	74,5	75,5	76,5	6	160	98	99	100
150/100	125	77,5	78,5	79,5	7	165	101	102	103
160/100	130	80,5	81,5	82,5	8	170	104	105	106

Montáž sálavých pásů je mnohem jednodušší, než montáž panelů s rámovou konstrukcí. Sálavé pásy se montují v jeden celek až na stavbě. Na místo montáže se dopraví odděleně otopné trubky, plechy, závěsy, upevňovací třmeny a isolace. Postup montáže (obr. 3) je tento:

a) Nejprve se zavěšují a svařují otopné trubky 1. Trubky se vkládají do závěsů 2. Montáž je velmi jednoduchá a svařování potrubí snadné, neboť vzdálenosti mezi trubkami jsou dostatečné. Vzdálenost závěsu je nejvýše 3 m.

b) Po montáži trubek a jejich připojení na rozvodný systém se přistoupí k přikrytí trubek plechy 3, které se dodávají na stavbu již s předvrstanými otvory pro připevnovací třmeny 4. Pod tyto otvory se dává podložkový pásek 5, který má zabránit prohýbání plechu v místě upevnění k trubkám. V místě spojení dvou plechů je širší podložkový pásek s otvory na obou stranách, takže se po připevnění sousedních plechů k trubkám dosáhne spojení plechů v souvislý pás. Na konci panelů se místo podložkového pásku připojuje tenkostenný úhelník, který má za úkol přidržovat isolaci, aby nepředávala přes okraj plechu.



Obr. 3. Příčný řez panelem a pohled z boku (1 – otopná trubka, 2 – závěs ve tvaru U, 3 – topný plech 1 mm, 4 – třmen, 5 – podložkový nebo přechodový pásek, 6 – isolace).

c) Posledním postupem montáže je přikrytí sálavého pásu rohožemi ze skelné vlny 6.

Sálavé pásy je možno zavěšovat na tyče, nebo pásková železa. Dílenské výkresy všech uvedených typů sálavých pásov je možno si vyžádat u SPU – Projekta v Praze.

Kotrbatý-Maršík

Poznámka redakce: Přestože předkládaný návrh zavěšených sálavých pásov řeší velmi vtipně četné otázky výroby a montáže tohoto druhu sálavých otopných ploch, není možno po- psanou konstrukci považovat za konečné a nejvýhodnější řešení. V budoucnu bude nutno zlepšit přestup tepla z trubek do plechu panelu tím, že v plechu budou vylisovány drážky pro otopné trubky a bude použito plechů z vodivějšího materiálu než je ocel (např. hliník).

RECENSE

A. Drozd: Stlačený vzduch v průmyslu. SNTL 1959, 239 stran, cena 15,60 Kčs.

Státní nakladatelství technické literatury vydalo knihu A. Drozda „Stlačený vzduch v průmyslu“, netrpělivě očekávanou všemi projektanty zabývajícími se průmyslovými instalacemi, závodními energetiky a údržbáři zařízení na tlakový vzduch.

Autor rozdělil obsáhlou látku na čtyři části, a to na výrobu stlačeného vzduchu, vnější rozvody, vnitřní rozvody a spotřebiče. V jednotlivých částech dává autor k disposici přístupnou formou jak své bohaté zkušenosti, tak i nejnovejší poznatky z tohoto oboru. Zvláštní zmínky si zaslouží zvláště část II a III, pojednávající o vnějších a vnitřních rozvodech. Zde se podařilo autorovi vyplnit mezera, která byla nejen v naší, ale i v zahraniční literatuře, neboť jsme dosud neměli žádnou knihu, která by se tak podrobně zabývala otázkou hospodárné dopravy tlakového vzduchu, jako to činí Drozdova kniha. Otázka dopravy této energie byla u nás dosud přehlížena a právě zde nás autor přesvědčuje, jak je tato otázka důležitá a kolik můžeme jejím správným vyřešením ušetřit našemu národnímu hospodářství. Je škoda, že tato část nebyla ještě rozšířena o větší počet praktických příkladů, které by vyčerpávaly alespoň hlavní případy, se kterými se projektant nebo energetik v praxi setká. Tyto příklady by byly dobrým vodítkem pro méně zkušené pracovníky.

V části IV se musel autor v některých částech omezit jen na encyklopedické vyjmenování spotřebičů. Vzhledem k závažnosti i této části knihy by mělo SNTL pamatovat v svém edičním plánu na eventuální samostatné rozpracování této části, neboť práci podobného druhu rovněž citelně postrádáme.

„Stlačený vzduch v průmyslu“ bude jistě dobrou pomůckou i studujícím odborných a vysokých škol, kde byla rovněž tato energie, stále více se v našem průmyslu uplatňující, přehlížena. Vydání Drozdovy knihy je záslužným činem SNTL. *Straus*

N. M. Michajlov: Voprosy suški topliva na elektrostancijach (Otázky sušení paliva v elektrárnách); Gosudarstvěnnoje energetičeskoje izdatelstvo, Moskva-Leningrad 1957, 152 stran.

Kniha pojednává o problémech využití méně hodnotných uhlí s vysokým obsahem vlhkosti v tepelných centrálách.

V první kapitole je uveden výpočet skutečné spotřeby tepla na odparení 1 kg vody a doplňující spotřeby tepla při promrzávání uhlí v železničních vagónech při jeho dopravě v zimních měsících.

Ve druhé kapitole jsou podrobněji rozebrány některé charakteristické vlastnosti uhlí. Je zde probráno působení různých druhů uhlí, jejich zrnitosti, obsahu vody a popelu na promrzávání uhlí a dále jsou uvedeny sypné vlastnosti uhlí a vliv vibrace na sypné vlastnosti.

Třetí kapitola detailně shrnuje všechny poznatky o sušení uhlí v bubnových sušárnách. Přehledně jsou uvedena různá uspořádání vnitřních vestaveb sušicího bubnu a nastíněny hlavní směrnice pro vlastní konstrukci. Zvláště pečlivě je v této kapitole zpracován přestup tepla a graficko-analytická metoda určení povrchů zúčastňujících se přestupu tepla a přenosu hmoty. Je zde uvedeno i schéma experimentálního zařízení a měřicích míst, na kterém autor určoval objemového součinitele sdílení tepla při různých podmínkách. Závěrem je proveden příklad tepelného výpočtu bubnové spalinové sušárny.

Ctvrtá kapitola se zabývá předsoušením uhlí při jeho drcení ve mlýně. Uhlí se usuší asi o 6 % absolutní vlhkosti zařazením dvou svíslých šachet před a za vlastní dřtič.

V páté kapitole jsou uvedeny změny absolutní vlhkosti mírně předsušeného uhlí za různých atmosférických podmínek při jeho normálně užívaném uložení ve vagónech a na skladce a při jeho ochraně zakrytém.

Sestá kapitola uvádí podrobně veškeré tepelné a konstrukční poznatky a matematické vyjádření přestupu tepla při sušení uhlí v parních trubkových sušárnách.

V sedmé kapitole jsou shromážděny ukazatele práce sušárny „Peko“. Tato sušárna slouží k vysoušení rašelin ve vznosu; topným médiem je odebírána pára z turbín.

Kapitola osm, devět a deset podávají rozbor hospodárnosti sušení uhlí v jednotlivých typech sušáren s ohřevem parou nebo spalinami o různých teplotách při dosažení vyšší a nižší konečné vlhkosti uhlí. Dále je zde provedeno srovnání otevřeného a uzavřeného okruhu přípravy uhlí v elektrárnách a proveden celkový propočet obou případů z hlediska investičních, tepelných a energetických nákladů.

Závěrečné kapitoly jedenáct a dvanáct jsou věnovány problémům možnosti zvyšování hospodárnosti sušáren, a to využitím tepla z odcházejícího sušicího média ze sušáren k předsoušení uhlí a využitím tepla obsaženého v odváděném ohřátém uhlí k dalšímu vyparení vody v chladičích a nakonec je uvedeno racionální schéma sušicího závodu pro předsoušení uhlí s celkovým podrobným propočtem.

Naše odborná literatura postrádá již řadu let obdobnou knihu, která by souhrnně po-dávala přehled se současným hospodárným rozbořem všech podstatných problémů s předsoušením méně hodnotných uhlí v tepelných centrálách.

Kniha N. M. Michajlova je bezesporu cenným přínosem pro řešení řady úkolů a obtíží vyskytujících se v našich elektrárnách, a to jak pro pracovníky v provozu a konstrukci, tak i pro pracovníky výzkumných a vědeckých ústavů.

Viktorin

LITERATURA

1 VYTÁPĚNÍ

—: Warm air heating (Teplovzdušné vytápění). Vytápění pro domácnost s nuceným oběhem teplého vzduchu. Automatická regulace. Příklady. 4 foto, 2 sch.

1958, Heat. Air Condit. Vent. Insul., č. 10, str. 341—345. 697.38 1.23

Jung A.: Wärmetechnische Anlagen in Hallenbad (Tepelně technická zařízení v lázních). Vybavení veřejných lázní: výroba a akumulace tepla, vytápění a větrání, příprava teplé vody. 10 obr., 1 tab.

1958, Heiz. Lüft. Haustechn. 9, č. 9, str. 231—234. 628.81 : 697 : 725.73/74 1.03

Kollmar A.: Berechnung des Kältebedarfs einer Kunsteisbahn (Výpočet spotřeby chladu umělého kluziště). Průběh teplot v betonové desce, suché a mokré půdní podložce. 4 tab., 3 obr., 14 lit.

1958, Ges. Ing. 79, č. 9, str. 266—270. 697.14 : 621.58 1.0

<i>Laisiepen K.</i> : Fachbibliographie Ölfeuerungstechnik (Seznam literatury z oboru olejového vytápění). Obsáhlá rešerše prací německých autorů z uvedeného oboru, uveřejněných v letech 1954—58.	
1958, Heiz. Lüft. Haustechn. 9, č. 9, str. 242—250.	662.94 : 697—634/2 1.2
<i>Mürman H.</i> : Luftheizungs- und Lüftungsanlagen im neuzeitlichen Wohnungsbau (Zařízení pro teplovzdušné vytápění a větrání v dnešních bytových stavbách). Přednosti teplovzdušného vytápění. Umístování odvětrávacích kanálů. Různé typy podélných skříní klimatisačního zařízení. 8 foto, 5 náč., 2 sch.	
1958, Haustechn. Rdsch. 57, č. 4, str. 86—92.	697.9 : 697.38 : 644.5 1.23 : 2.23
<i>Steininger A.</i> : Technische Anlagen in den chemischen Instituten der Universität München (Technická zařízení v chemických ústavech mnichovské univerzity.) Konstrukce a stavební úpravy. Vytápění. Větrání a odsávání. Kanalizace. Elektrická instalace. Provozní zkušenosti. 7 obr.	
1958, Ges. Ing. 79, č. 10, str. 299—303.	621.369 : 697.94 1.2 : 2.2 : 7.1 : 9.1

2 VĚTRÁNÍ A KLIMATISACE

—: A windowless factory (Továrna bez oken). Klimatisační zařízení a technické vybavení továrny na polovodiče. 8 foto.	
1958, Heat. Air Condit. Vent. Insul., č. 10, str. 327—330.	697.9 2.4
<i>Gilbo Ch. F.</i> : What to watch for when insulating air conditioning systems (Čeho je třeba dbát při isolaci klimatizačních zařízení). Odstranění kondensačních vodních par. 6 foto, 2 grafy.	
1958, Heat. Pip. Air Condit., č. 8, str. 110—114.	697.9 : 699.82 2.0
<i>Kläusler J.</i> : Luftschleusen für Geschäfts- und Warenhäuser (Vzduchové clony pro obchodní domy.) Výpočet a způsoby provedení. Množství vzduchu. Tepelné ztráty. Teplota a rychlosť přívaděného vzduchu. Provedení s vertikálním proudem vzduchu. Regulace. 5 obr.	
1958, Ges. Ing. 79, č. 10, str. 296—299.	697.38 2.27
<i>Koziarski J.</i> : Klimatyzacja rozgłośni radiowych (Klimatisace studií a jiných pomocných místností v rozhlasových vysílačích stanicích). 5 obr.	
1958, Klimat, č. 1, str. 2—9.	697.9 : 621.396.7123 2.0
<i>Liese W.</i> : Luftdesinfektion vom Standpunkt der Lüftungstechnik (Desinfekce vzduchu z hlediska větrací techniky.) Větrání a desinfekce ultrafialovými paprsky. Účinek na člověka. 6 obr., 3 tab., 29 lit.	
1958, Ges. Ing. 79, č. 10, str. 289—296.	614.485 2.0
<i>Malicki M.</i> : Urządzenia wentylacyjne i klimatyzacyjne wysokiego ciśnienia (Zařízení vysokotlakého větrání a klimatisace). 5 obr.	
1958, Klimat, č. 1, str. 10—11.	697.9 2.28
<i>Pulkrábek J.</i> : Provozní technika. Větrání. Vzduch a škodliviny. Větrací zařízení. Proudení vzduchu ve větraných prostorách. Vytápění. Osvětlení. Hluk. Bezpečnost práce. 246 str., 250 obr., tab.	
1958, SNTL.	697 : 697.9 : 699.844 : 628.93 : 614.8 2.0 : 1 : 0 : 8.0 : 9.1
<i>Rosell A.</i> : Swedish air raid shelter ventilation designed for atomic war emergency (Větrání ve švédském protiletadlovém krytu, navržené pro případ atomové války). 1 sch., 1 foto.	
1958, Heat. Pip. Air. Condit., č. 9, str. 136—139.	697.95 2.82
<i>Walz F.</i> : Staubbeseitigung in Textilbetrieben (Odprášování v textilním průmyslu). Druhy prachu v textilním průmyslu. Vznik textilního prachu. Odlučovače. 16 obr., 1 lit.	
1958, Textil-Praxis 13, č. 4, str. 357—364.	677 : 621.928.9 2.3 : 4.03
<i>Wasilewski W.</i> : Straty cięcia w przewodach wentylacji z dużymi predkosćiami (Ztráty tlaku v potrubí vysokorychlostní ventilace). 4 obr.	
1958, Klimat, č. 1, str. 12—14.	696.5 : 533.1 : 532.5 2.28

3 SUŠENÍ

—: Leicht transportabler Formentrockner offener Bauart (Lehce přenosné otevřené zařízení k sušení forem). Značný výkon zařízení. Regulace teploty v mezích 200—700 °C. 1 foto.	
1958, Werkstatt u. Betrieb 91, č. 4, str. 192.	621.742.32 : 621.744.58 3.13
—: Trocknungsanlagen für Giessereien (Sušící zařízení pro slévárny). Způsoby sušení jader a forem a problémy spojené s tímto procesem. Konstrukce sušících pecí, volba vhodných teplot a doby sušení, problém dopravy forem k pecím bez otřesů. 5 foto.	
1958, Industrie-Anz. 80, č. 35, str. 525.	621.743.36 : 621.744.58 3.13

4 ČIŠTĚNÍ PLYNŮ — AEROSOLY

- Albring W.:* Modellversuche am Zyklon über den Einfluss der Tauchrohrtiefe auf Abscheidegrad und Druckverlust (Modelové zkoušky na cyklonu, zjišťující vliv hloubky výstupní trubice na stupeň odlučivosti a tlakovou ztrátu). Měření tlakových ztrát a odlučivosti. Výpočet zrnění a vstupní rychlosti. 3 sch., 1 foto, 11 gr.
- 1958, Maschinenbautechnik, č. 8, str. 416—421. 621 : 928.93 : 001.57 4.252
- Böhm J.:* Funkční a ekonomické hodnocení bateriových cyklonových odlučovačů. Rozbor parametrů, rozhodujících pro funkci resp. ekonomii odlučování cyklonovými odlučovači. Zjednodušující předpoklady a podklady pro funkční a ekonomické hodnocení. Podrobná analýza vzájemné vazby provozních a investičních nákladů ve vztahu k funkčním vlastnostem. Určení optimálního průtoku a optimálních nákladů. Určování celkových nákladů na odlučování při provozu mimo optimum. Způsob ekonomického hodnocení cyklonových bateriových odlučovačů při odlučování hospodářsky cenného prachu, respektující zisk ze zachyceného prachu. 6 diagr. 1958, Strojírenství 8, č. 11, str. 809—814. 621.928.9 : 621.003 : 621.359.4 4.09 : 4.25
- Davidson B.—Halitzky J.:* A method of estimating the field of instantaneous ground concentration from tower bivane data (Metoda k určení okamžité půzemní koncentrace pomocí údajů, získaných větrnou korouhvíčkou). Předpovidání šíření kouřového praporce pomocí větrné korouhvíčky. 8 obr.
- 1958, J. Air Poll. Control Assoc. 7, č. 4, str. 316—319. 526.91 : 545.73/79 4.122
- Friedländer S. K.:* Theory of aerosol filtration (Teorie filtrace aerosolu). Vláknité filtry. Současná teorie o funkci vláknitých filtrů. Teorie korelace účinnosti, založená na rozboru rovnice o difusi. Souhlas údajů experimentálních s údaji vypočtenými. 1 diagr., 23 lit.
- 1958, Ind. Eng. Chem. 50, č. 8, str. 1160—1164. 66.071 4.43
- Ibing R.—Neier G.:* Entwicklung und Eichung von Staubentnahmesonden (Vývoj a cejchování sond pro odběr prachu). Krátká robustní sonda, umožňující měření rychlostního tlaku plynů, proudících proti hlavě sondy ještě pod úhlem 5°, jakož i odběr dílčích proudů. 9 obr.
- 1958, Forschungsber. des Wirtschafts- u. Verkehrsmin. Nordrh. Westf., č. 474. 543.052 : 681.123 4.12
- Maliovunov D. I.—Fedotov A. N.:* Vybor parametrov pyleulovitelja PUR-3 (Volba parametrů odlučovače prachu PUR-3). Nový sovětský odlučovač. Zkoušky různých variant cyklu. Výsledky zkoušek. Rozbor zachyceného prachu. 1 foto, 3 sch., 3 tab., 9 lit.
- 1958, Ugol 33, č. 4, str. 20—25. 622.807 : 622.233.05 4.25
- Mrose H.:* Die Kontrolle der Luftreinheit in der freien Atmosphäre (Kontrola čistoty vzduchu ve volné atmosféře). Účinky znečištění. Měření stopovačem.
- 1958, Aerosol 7, č. 3, str. 205—217. 614.71/72 : 539.163.004.14 4.111
- Pereles E. G.:* The theory of dust deposition from a turbulent airstream by several mechanisms (Teorie odlučování prachu z turbulentního proudu vzduchu). Usazování uhlíkového prachu. Teplotní gradient vzniklý třením a jeho působení na částice. Vliv hustoty elektrického pole. Základní rovnice pro difusní proudění. Speciální údaje o mechanismu difuse. Vliv Brownova pohybu. Souhlas mezi teorií turbulentní a obecné difuse. 5 obr., 5 tab., 20 lit.
- 1958, Ministry of Power, Safety in Mines Research Establishment, Research Report č. 144 únor. 621.928.9 : 533.6.01 : 532.517 4.03
- Schliephake R. W.:* Beitrag zur quantitativen röntgenographischen Mineralbestimmung in Grubenstäuben (Kvantitativní rentgenografické určování nerostů v důlním prachu). 26 obr., 9 tab., 18 lit.
- 1958, Bergbau-Archiv 19, č. 1, str. 1—16. 529.23 : 549.1 : 622.817 4.114
- Schneider M.:* Gleichrichter zum Betrieb von Elektrofiltern (Usměrňovače pro elektrické odlučovače). Srovnání mechanických usměrňovačů, usměrňovačů s žhavenou elektrodou a usměrňovačů selénových. Výhody použití posledního druhu u elektrických odlučovačů. 1 diagr., 2 sch., 6 foto.
- 1958, Braunkohle, č. 13/14, str. 289. 621.359.4 : 621.314.6 4.32
- Šimeček J.:* K některým otázkám prašnosti v hornictví. Hygienická charakteristika hornické práce. Vlastnosti prašného aerosolu. Všeobecné směrnice pro zneškodňování prachu a rozbor jednotlivých opatření. 4 foto, 2 náč., 4 diagr., 12 lit.
- 1958, Uhlí 8, č. 8, str. 279—285. 622.807 4.01 : 4.03
- Štorch O.:* Odlučování mlhy kyselin y sírové aeromechanickými odlučovači. Přehled a zhodnocení dosavadních metod. Poloprovozní zkoušky s různými odlučovači. Zhodnocení

výsledků. Sedmibuňkové odlučovače značným zlepšením proti dosavadním způsobům. 3 tab., 4 sch.
1958, Chem. stroj. stav. přístroj. techn., č. 7/8, čl. 99. 621.359.4 : 621.928 4.24

5 PNEUMATICKÁ DOPRAVA

—: Pulverised coal transport through pipes (Doprava práškového uhlí potrubím). 29 obr., 2 tab.
1958, Semi annual meeting of ASIE, Detroit, June, Paper No 58 SA-24. 621.867 5.0

6 VENTILÁTORY — PROUDĚNÍ

—: Developments in fan manufacture (Nový vývoj výroby ventilátorů). Ventilátory s kovovými i dřevěnými lopatkami, pro letecký průmysl, větrné tunely, odstředivé, osové a vrtulové. 4 foto. 621.63 6.2
1958, Heat. Vent. Engr. 374, č. 8, str. 96—98.
Beiten W.: Eindeutige Druckangabe für die Auswahl von Ventilatoren (Jednoznačné tlakové údaje při volbě ventilátorů). Odstranění nejasností mezi označením — celkový tlakový rozdíl a statický tlakový rozdíl. Názorné směrnice pro objednávajícího. 4 sch., 1 tab. 621.63.001.24 6.20
1958, Heiz. Lüft. Hauttechn., č. 10, 265—268.
Dejč M. E.—Zarjankin A. E.: Približennyj metod rascheta koncevych poter (Přibližná metoda výpočtu koncových ztrát v turbinových mřížích). Srovnání teoretických výpočtů a pokusných hodnot. 2 diagr., 1 tab. 621.165 : 620.9.001.2 6.103
1958, Teploenergetika, č. 9, str. 57—60.
Göpel W.: Der Regelventilator mit mechanischem Antrieb (Ventilátor s řiditelnými otáčkami a mechanickým náhonem). Hydraulické zařízení pro řízení otáček. Účinnost a výkon. 3 obr., 2 diagr. 621.43—712.8 6.4 : 6.5
1958, M. T. Z. 19, č. 8, str. 277—279.
Idělek I. E.: Povyšenie effektivnosti korotkich diffuzorov s pomoščju razdelitelnych stenok (Zvýšení účinnosti krátkých difuzorů dělícimi stěnami). Výsledky experimentálnich šetření. 1 náč., 10 sch., 3 diagr., 6 lit. 621.63 : 532.522 6.14
1958, Teploenergetika 5, č. 8, str. 21—26.
Klyk F.: Dobór wentylatorów do sieci wentylacyjnej (Volba ventilátorů pro ventilační síť). 11 obr. 621.63 6.2
1958, Klimat., č. 1, str. 15—18.
Svoboda O.: Vliv aerodynamických poměrů na účinnost vertikálních elektrických odlučovačů. Vliv nerovnoměrného rozdělení proudu při protékání elektrickým odlučovačem. 6 diagr., 4 náč., 3 lit. 621.359.4 : 533.1 6.1 : 4.1
1958, Strojírenství 8, č. 11, str. 834—836.

8 OCHRANA PROTI HLUKU BEZPEČNOST PRÁCE — ŠKODLIVÉ ZÁŘENÍ

Kadlec K.: Biologický účinek smíšeného prachu uhlenného a křemičitého. Podíl obou druhů prachu na pneumokonioze horníků. Pokusy a metodika. 613.633 : 616—003 8.4
1958, Prac. lék., č. X-4, str. 312—315.

Zdravotní technika a vzduchotechnika. Ročník 2. Číslo 2, 1959. Vydává Čs. vědecká technická společnost pro zdravotní techniku a vzduchotechniku v Nakladatelství ČSAV. Vodičkova 40, Praha II. Adresa redakce: Praha 15, Dvorecká 3. — Rozšiřuje Poštovní novinová služba. Administrace: Poštovní novinový úřad, Jindřišská 14, Praha 3. Objed-návky přijímá každý poštovní novinový úřad a doručovatel. Vychází 6 čísel ročně. Cena jednotlivého čísla Kčs 6.—. Předplatné Kčs 36.—. Tiskne Knihtisk, n. p., závod 05, Praha-Libeň, Tř. Rudé armády 171. — Toto číslo vyšlo v květnu 1959. — A-11052.